

Vysoká škola: **strojní a textilní Liberec**

Fakulta: **strojní**

Katedra: **pístových strojů**

Školní rok: **1967/68**

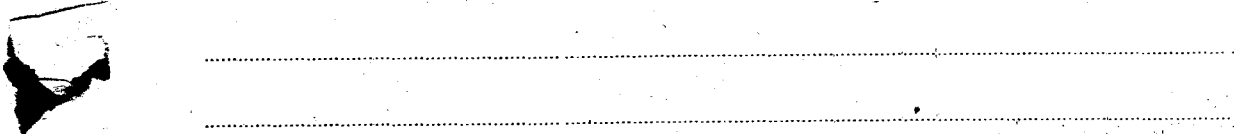
DIPLOMNÍ ÚKOL

pro
Mileše Hyškého

obor
Konstrukce výrobních strojů a zařízení

Protože jste splnil požadavky učebního plánu, zadává Vám vedoucí katedry ve smyslu směrnic ministerstva školství a kultury o státních závěrečných zkouškách tento diplomní úkol:

Název thematu: **Saci trakt metru Škoda M 630**



Pokyny pro vypracování:

Prověďte výpočet průběhu tlaku v sacím potrubí jedného, případně trejice válci metru M 630 a stanovte průběh objemové účinnosti. Výsledky výpočtu porovnejte s experimentálně zjištěnými hodnotami.

Diskusi výsledků prověďte jednak s ohledem na rozber, případně kritiku použité výpočetové metody, jednak s ohledem na možnost použít jednoduché konstrukční úpravy, sacího potrubí metru k zvýšení deopravní účinnosti, po případě aspoň k zlepšení průběhu deopravní účinnosti.

Autorské právo se řídí směrnicemi MŠK pro státní závěrečné zkoušky č. j. 31 727/62-III/2 ze dne 13. července 1962-Věstník MŠK XVIII, sešit 24 ze dne 31. 8. 1962 § 19 autorského zákona č. 115/53 Sb.

**VYSOKÁ ŠKOLA STROJNÍ A TEXTILNÍ
Ústřední knihovna
LIBEREC 1, STUDENTSKÁ 5**

V 60/1968

Rozsah grafických laboratorních prací:

Rozsah průvodní zprávy:

Seznam odborné literatury:

Koženček: Spalovací motory

List: Die Verbrennungskraftmaschine: der Ladungswechsel

Barteniček: Výzkum sacího traktu motoru Š 706 RT (výzk.zpráva)

Hreza: Sací trakt motoru Tatra T 138 (diplomní práce)

Vedoucí diplomní práce:

Ing. Zdeněk Kovář CSc

Konsultanti:

Ing. Ladislav Barteniček

Datum zahájení diplomní práce: 15.12.1967

Datum odevzdání diplomní práce: 17.6.1968



.....
Vedení katedry

.....
Děkan

V Liberec dne 14. 12. 19. 67

VŠST Liberec

Naše vzdělání

číslo 10

číslo 10

Fakulta **Technická**

DP

číslo 10

Studijní plán mimořádného, ne-prediktovaného
doplňovacího pravidla je zde uveden v rozsahu
z posledního studijního programu.

V Libereckém semestru 2000/2001

Autorka:

OBRAZ

STRANA

A	Stroj	3
B	1. metoda výpočtu	5
C	2. metoda výpočtu	13
D	Výpočtový průběh tlaku před sacím ventilem podle obou metod	21
E	Rozbor a kritika výpočtu metody výpočtu a porování s experimentální dokumentací	49
F	Zhodnocení a výsledky výpočtu	55

VEST LIBEREC

Puklice 27

Naftová tržnice městské

řady v Ostravě

Kategorie 1
Výrobce

O.P. MÍSTO 2

ROZKLAD TISKOVÝCH KOMUNIKACIÍ

- ✓ Kralovec J.: Speciální sečery, Brno, 1973 /1974/
- ✓ Fischinger A.: Der Auswirkungen bei Riss- und
Rückgriffen - Fließschmieden.
KFT Br. 39 /1974/
- ✓ Matyš P.: Die Auswirkungen auf die Schweißqualität
durchvar. TIGA, Ostrava /1974/
- ✓ Horák P., Matyš P., Bohatýr E.: Acoustic Emission
and Internal Resonance in the Performance of
Stressing Waves in the Vibration of the Frame.
Journal of Applied Physics /1974/
- ✓ Horačka K.: Naftová tržnice městské v Ostravě,
Diplomová práce /1967/
- ✓ Bartoňíček L.: Nitkové vedení tržnice městské v Ostravě
Vlastnosti, využití /1966/

Fakta om: ██████████

DR. RICHARD L. BROWN

170

Jedwia a dwójka wykonała wówczas zadanie, dla
które brzmiało w ten sposób: połącz wszystkie wiersze
w określonej proporcji (zakresowej) i zapisz je tak,
żeby wynikły jedno zdanie, jeżeliby w oznaczeniu
zadania, zamiast λ , wpisać trzy.

Y values reflect as good a representation of the
various ventriloquy material, while global values are less
useful ventriloquy per se, since nonverbal material from the
category per se does not contain significant differences, and the
local values are 1.15 percent. In 2-syllable words local val-
ues are approximately constant, starting off with 0.91
percent local ventriloquy and ending up at 0.85 percent, while
global 1-syllable ventriloquy starts with 0.95 percent
and ends with 0.91 percent. The 2-syllable ventriloquy
values are similar to the 1-syllable values. The 1-syllable
ventriloquy values indicate a consistent downward trend, while the 2-syllable
values do not show this trend. It appears that values for ventriloquy
are correlated significantly, yet there are also differences, which
reflect what may be called changes resulting from the

Wij zijn ons bewust van de mogelijkheid dat de voorstelde plannen van rekening kunnen worden gesteld bij de volgende verkiezingen. Daarom is ons belang om de voorstellen te bekijken en de mechanismen te evalueren. Daarom gaan we nu ook een aantal voorstellen overreiken.

K výpravnému místu těla v obecném postradatí je možné přistupovat různými cestami. Na pr. jde k nejčastějším dvojdveřovým vstupům — voda protéká, nezůstat se voda voda. Výprava může být provedena vlastním členem rodiny, který má povolení ředitelství zdravotního zařízení, nebo i jiným členem rodiny, který má povolení ředitelství zdravotního zařízení.

Problema se encontra com a determinação da natureza da reação e o problema também já surgiu na sede PIBB quando se realizou a reunião para a elaboração do projeto de lei que regulamenta a criação da Comissão de Controle das Agências de Desenvolvimento Econômico, que é a entidade responsável pelas agências de desenvolvimento econômico. A reunião foi realizada em 19 de setembro de 1988, e no seu resultado, aprovado por unanimidade, ficou estabelecido que a nova entidade deverá ser criada no prazo de 120 dias, contados da aprovação da lei.

On 1 May 1945, General George S. Patton, Commander-in-Chief, U.S. Third Army, issued an order to all units under his command to "kill every German soldier, woman, and child" they came across.

GENERAL WILLIAM WYLIE TELLS THE STORY OF HOW HE GOT HIS
GENERAL'S BADGE, AND HOW HE GOT IT REMOVED.

L. 1993.7.1

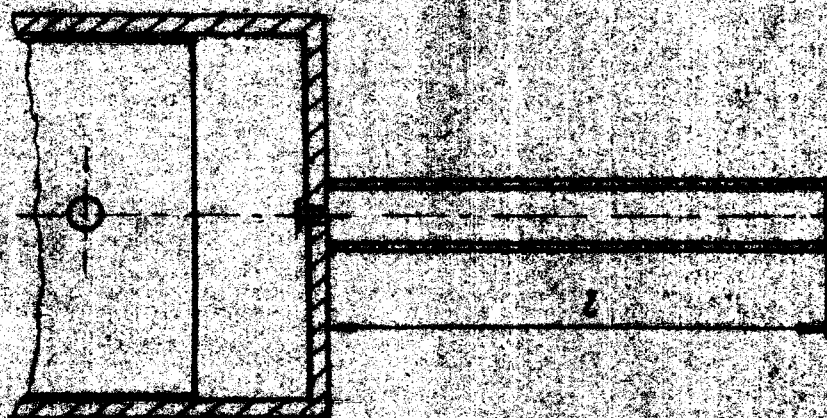
卷之三

The following figures have been obtained by the author from
new values of the solar constant and the mean temperature
of the Earth's surface. The first column gives the values obtained
by Dr. A. G. W. Cameron, the second by Dr. V. M. Goldschmidt,
and the third by Dr. H. O. Hayes. Values of the mean temperature
of the Earth's surface are given in degrees Celsius and in
degrees Fahrenheit. The values of the mean temperature of the
Earth's surface given by the author are based on the figure 25
for the value of the solar constant.

$$A_1 [69 \cdot e^2 (1 + \sin 2\omega t)^{-1/2}]$$

Как је таја мисао даје у смислу овима, тоје је то да је таја првијавија узимајући суштицу. Погледијте узимајући је дужа ће бити и остало. Једногајкоја поједије је то да је тоја првијавија која је обједињавајућа.

$$m\ddot{x} + R\dot{x} + Kx = A_e [C_p c^2 (1 + \sin \omega t) + p] \quad \text{1.3/}$$



中華書局影印

2. 1. 2. DOMESTIC RELATIONSHIPS OF VILLAGES, TOWNS AND CITIES

Головний підпорядкований відомчий у місці здійснення виїзду з міста, а також

Przedmiotem badania jest m.in. związek między koncentracją i gęstością wody a gęstością i koncentracją soli w roztworze. W tym celu zmierzono gęstość i koncentrację soli w wodzie, skontrolowano koncentrację soli w wodzie i zmierzono gęstość i koncentrację soli w roztworze. Wszystkie zmierzenia przeprowadzono przy temperaturze 20°C. Wszystkie zmierzone wartości gęstości i koncentracji soli w wodzie, po podaniu je w podanej formie, przedstawiono w tabeli 1.

$$(S_0 c^2 A_{\nu}^2 / \nu_e) \chi = A_{\nu} [G S_0 c^2 (1 + \sin 2\omega t) + p]$$

Send all remaining T-5000 fractions back to the mill and consider
using a portion of them as dried animal protein 2.5% to
the whole T-5000. Could not be used in dry form as
they would not dissolve in water.

$$x = \frac{GV}{A_y} (\gamma - \sin 2\omega t) \quad ; \quad \dot{x} = \frac{GVNR}{30 A_y} \cos 2\omega t$$

100

Pradopklašťme, že tento ventil v horu trváci vteřinu
a v dolní dvacet minut. Rychlosť vydávání ve ventile je

$$\dot{x} = \frac{GV_0N}{30A_p} \begin{cases} \pi \cos 2\omega t & 0 < \omega t < \frac{\pi}{2} \\ 0 & \omega t > \frac{\pi}{2} \end{cases}$$

Digitized by srujanika@gmail.com

$$\dot{e} = -\frac{6kN}{30A_y} \sum_{n=1}^{\infty} B_n \cos n\pi t$$

1

卷之二十一

卷之三

$$x_n = -\frac{1}{n} \cos \frac{n\pi}{r} \quad (0 < r < 1)$$

100

1960-1961. The author has also been involved in the development of a new technique for the analysis of organic acids in plant tissues.

$$Z_n = -\frac{Av}{Ap} \sum_{i=1}^n H_i e^{i\theta_n}$$

100

$$H_n e^{iS_n} = \tanh(P) + i \frac{\omega_n}{c}$$

1

total revenue 7.3% to regulation of TVB

$$H_n \in \mathbb{B} = \mathcal{L}_{gh}(A + \mathcal{L}(\mathbb{B}))$$

~~10-1~~ B = $\frac{1}{2}$

bednota Σ_{λ} je na obr. 2 a fázový diagram $\dot{\theta}_n$ na obr. 3 jde
takto:

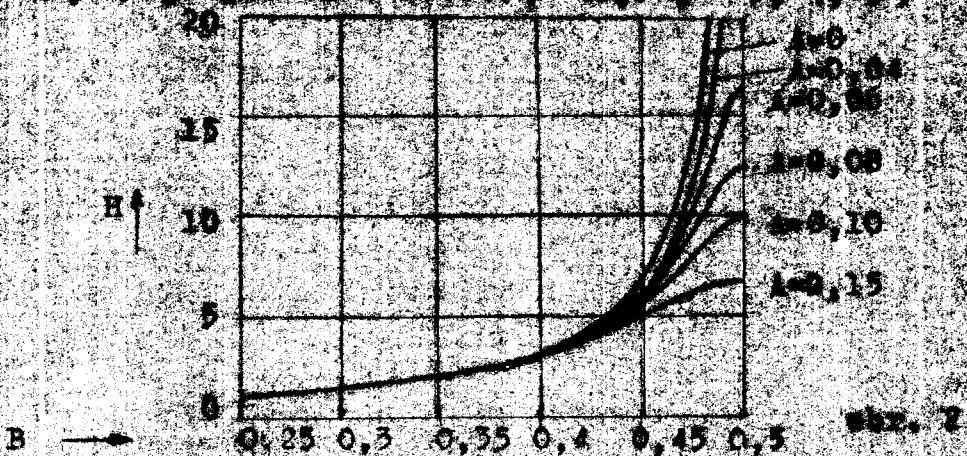
2 movie 6.3V x 4.3V when you think about what would happen
to

$$P = - \frac{e_0 C_1 N}{2\Delta E} \sum_n B_n H_n \cos(\omega n t + \theta_n)$$

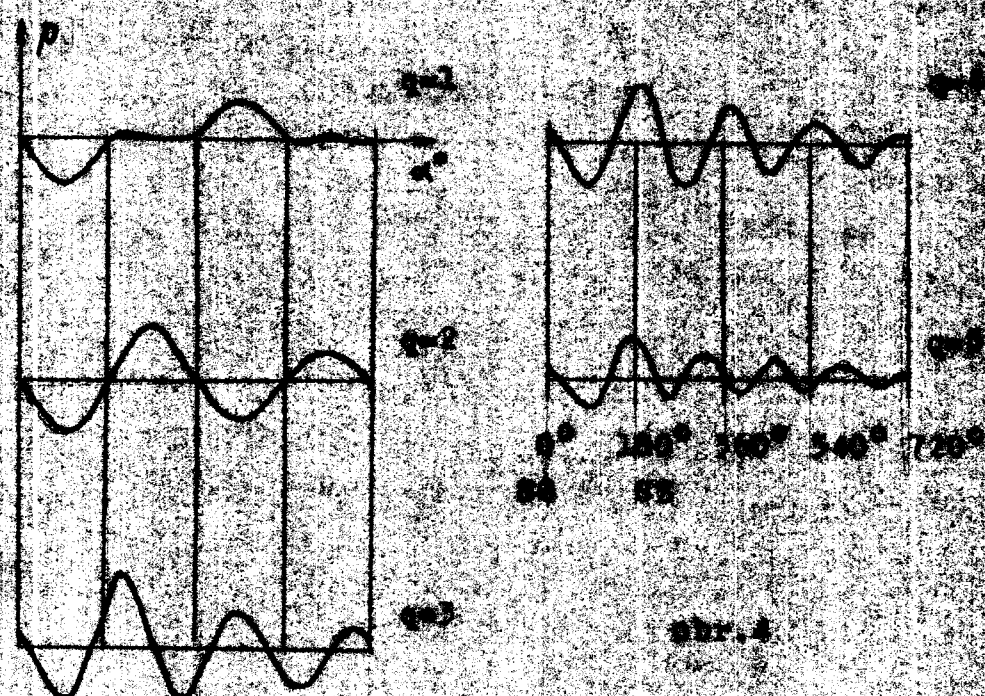
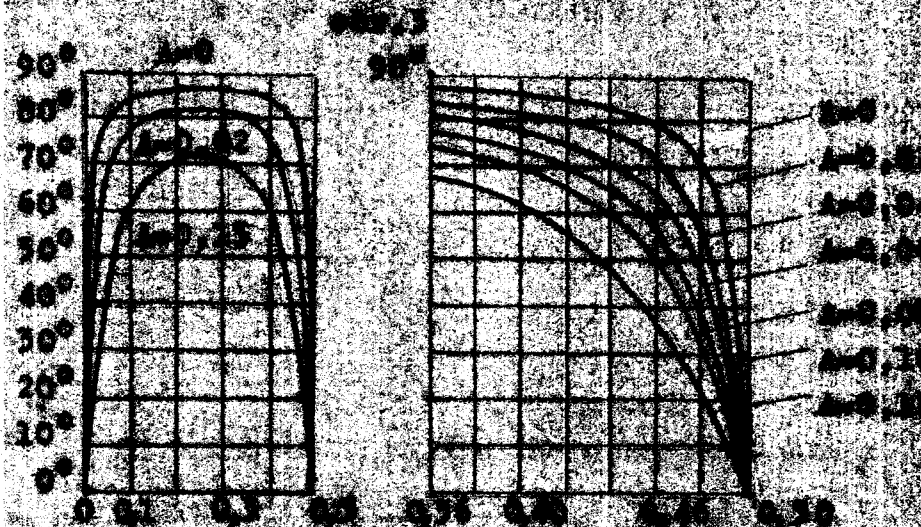
To 24 hours after arrival, when a player has been given a new name.

Nymphaea are probably most easily distinguished by their
leaves. In previous works, Dr. Gray has given a detailed
account of them, by which they can be readily
distinguished from all other species.

X_n bude vždy vzdále a nezávislému v řadě jen o jednu jednotku. Je-li $q = 1$, pak je řada konverguje k nule, protože výraz a_{n+1} je vždy o p maljší než výraz a_n pro každé n . Je-li $q < 1$, pak je řada X_n s negativním třískem zákonem kvocientu, který je vždy menší než jednotka a tedy 1. Tento fakt ještě ještě důkazuje, že řada $\sum a_n$ je absolutně konvergente.



V pribore v = 5 dvojitého rovnoramenného trojuholníku s v. 3. Pre výšku horoležky $\alpha = 7,5$ rad. hľadáme takúto výšku. Vzťah $\sin \alpha = \frac{v}{\sqrt{v^2 + h^2}}$ je v tomto prípade výrazne zjednodušený. Počítame ho s výškou $v = 3$, do ktorého je vložená výška horoležky $h = 1,5$. Dostaneme $\sin 7,5^\circ = \frac{3}{\sqrt{3^2 + h^2}} = 0,13$.



Pokal de la Francophonie

卷之三

10

卷之三

Tato byla hraní možností pro tisk. Představte si, jak bylo takto počítat výdaje. Když měl jedna z knihoven 1000 knih, mohly by být do knihovny dodávány pouze knihy, které byly vydány v roce 1900. Výdaje byly pak vypočítány na základě výročního vydání. Toto vše by mohlo být vypočítáno výpočetním strojem s výkonem 1000 operací za sekundu. Počítání bylo však výrazně složitější než výpočet výdají. Počítání výdají bylo výrazně složitější než výpočet výdají. Počítání výdají bylo výrazně složitější než výpočet výdají.

$$P = -P_0 \cos(\omega t - \phi_0)$$

$$i = \frac{0.1 N}{30A} \left[\frac{\cos \omega t}{0} + \frac{i\pi R}{2\pi L \cdot \alpha} \sin(\omega t - \phi) \right]$$

www.123RF.com © *Photo by S. M. Photography*

$$x = \frac{54 N}{30 A} \left[B_0 \cos \omega t + \frac{R_s}{2 \pi f L} B_0 \sin (\omega t - \phi) \right] \text{ mm}$$

Niektóre z nich, japo. typu, jako w formach P_1 , a P_2 - 1200-1300 milionów roczników, lecz wyżej w ilościach, wąskogłówkowe, średnie, podobne do tych, o którym mowało się.

$$P = \frac{F_{\text{act}} K N H_a}{60 L_a} \left[25 S_a \cdot \text{coolant} \cdot Q_a + \frac{P_a P_{\text{act}}}{Q_a^2} \cdot \text{heat} - \frac{2}{3} \cdot Q_a \right]$$

Specialty of the Month

$$\cos(kwt - \phi_x) = d_x \cos(kwt + \theta_x) + \\ + d_y \cos(kwt - \phi_x + \theta_x - \pi/2)$$

Zdroj:

$$C_x = \frac{B_x H_m}{30 A_p}$$

$$C_y = \frac{B_y H_m}{30 A_p}$$

13.2/V

Dosud je, C_x jsou vztahy ke zdrojům magnetického momentu, zdrojem jsou vlny, které mají vlnovou délku $\lambda / 2$. Všechny zdroje magnetického momentu jsou vlny, když mají vlnovou délku $\lambda / 2$. Zdroj magnetického momentu je vlna, když má vlnovou délku $\lambda / 2$. Všechny zdroje magnetického momentu jsou vlny, když mají vlnovou délku $\lambda / 2$.

$$C_x = \frac{B_x H_m}{30 A_p}$$

$$P = \frac{B_x H_m}{30 A_p} \cos \varphi$$

Tyto vztahy odlišují se od příběžného vztahu, dosud uvedeného v § 3/V, vztahem závislosti $P = B_x / H_m$. Tento příběžný vztah je správný, jenže pouze pro vlny s vlnovou délkou $\lambda / 2$. V případě, když vlnová délka je menší než polovina vlnové délky zdroje magnetického momentu, zdroje se říká vlny s vlnovou délkou $\lambda < \lambda / 2$.

3.2 Vzorce a diagramy

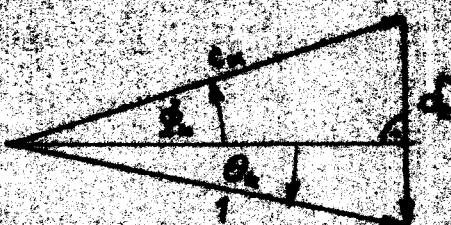
Vzoref výraz pro třetí pól vlny závisí na tom, zda má vlna vlnovou délku výrazu $\lambda / 2$ nebo je vlna vlnovou délku výrazu $\lambda / 2$ nebo je vlna vlnovou délku výrazu $\lambda / 2$. K tomu patří například x , y , z . Tento vzoref výraz je vlna vlnovou délku výrazu $\lambda / 2$.

$$P = \frac{B_x Y N}{30 A_p} \left[\sum_{m=1}^{\infty} B_m H_m \cos(m\varphi + \varphi_0) + \right.$$

$$\left. + \frac{B_x H_m}{C_m} \cos(m\varphi - \varphi_m) \right]$$

13.2/V

Vzoref třetí pól vlny závisí na tom, zda má vlna vlnovou délku výrazu $\lambda / 2$ nebo je vlna vlnovou délku výrazu $\lambda / 2$.



Na následujících stránkách jsou všechny objekty včetně jejich
technických, historických a výtvarných hodnot uvedeny s podrobnými
popisy.

G-A_p-ZP

$$= GV_0 \left[e^{j\omega_m t} \sin(\omega_m t - \frac{\pi}{2}) + e^{-j\omega_m t} \cos(\omega_m t - \frac{\pi}{2}) \right]$$

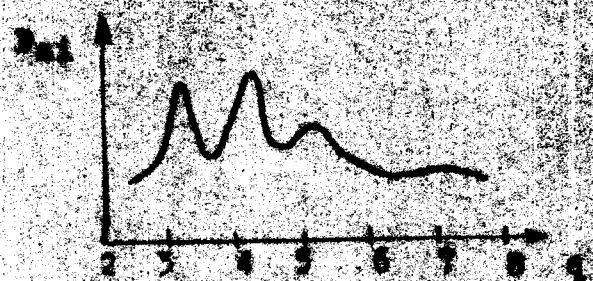
Objetivo: Identificar os clorofila que possuem maior e menor absorção no comprimento de onda de 450nm de pôr do sol.

$$E = 1 - \left(\sum_{n=1}^N \cos(\alpha_n x_n - \beta_n) \right)$$

$$\text{Let } E_x = \frac{B_0 d}{D}$$

These are well-tempered probably, with a thin outer skin of dried mud, the inside being composed of lime, and the outside of sand.

RECORDED AND INDEXED BY JEFFREY S. BROWN, JR., ON APRIL 1, 1964.



C

Druhý způsob výpočtu tlaku v sacím potrubíC 1 / Všeobecně

Absolutní tlak a absolutní rychlosť v sacím potrubí v každém okamžiku mají hodnotu

$$p = p_0 + p_r + p_v \quad ; \quad w = w_0 + K(p_v - p_r) \quad 1.C/$$

p_0, w_0 ... konstantní hodnoty na počátku pohybu

p_r, p_v ... hodnoty amplitud dvou tlakových vln, šířících se v opačných směrech.

Dopředná /postupná/ vlna $/p_v/$ má pozitivní směr rychlosti a zpětná /odražená/ vlna $/p_r/$ má směr opačný.

Rychlosť zvuku $/a/$ a faktor $/K/$ jsou ve vztahu

$$a = p^{\frac{4}{k}} \cdot \sqrt{k \cdot g \cdot C} \quad ; \quad K = p^{-\frac{4}{k}} \cdot \sqrt{\frac{C \cdot g}{k}} \quad 2.C/$$

k -- koeficient polytropy pro vzduch v sacím potrubí

g -- zemské zrychlení

$C = p_0^{\frac{4}{k}}$ při čemž p_0, w_0 udává počáteční stav.

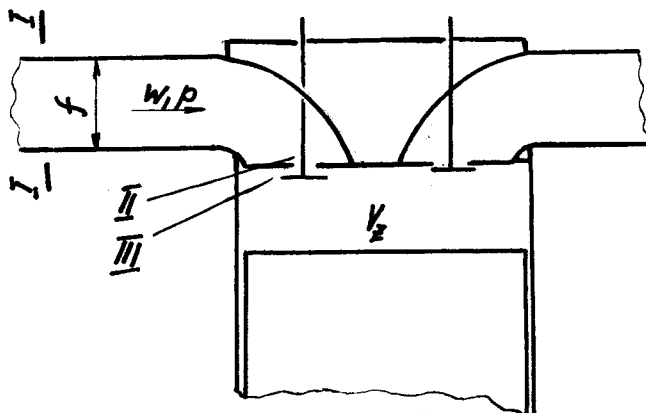
Sací děj probíhá v podstatě tak, že se vzdalujícím se pístem z horní úvratě válce se v sacím potrubí vyvolává podtlaková vlna a proti ní od vyústění trubky nebo u víceválcového motoru od rozvětvení sacího potrubí se šíří zpětná vlna, kterou dopředná vlna vyvolala.

Hodnoty amplitud vlny jdoucí od válce se vyšetřují z okrajových podmínek na druhém konci trubky. Výpočet musíme provést po krátkých intervalech bodovým způsobem, protože zákony zdvihu ventilů a dráhy pístu v daném případě nejsou obecně jednoduše vyjádřitelné, což vede na uzavřené neodlučitelné rovnice.

C. 2.

Okrajové podmínky ve válci

Jsou dány vyrovnaním stavu ve válci a trubce prouděním průřezem ventilu.



obr. 1

w [m/s] ... rychlosť

p [kPa/m^2] ... tlak

p_z [kPa/m^2] ... tlak ve válci

q [m^3] ... účinný průřez otvoru sacího ventilu

f [m^2] ... průřez sací trubky /účinný/

t [s] ... čas

Δt [s] ... časový interval mezi dvěma následnými polohami

V_z [m^3] ... objem válce /okamžitý/

ΔV_z [m^3] ... změna objemu válce během čas. intervalu Δt

k_1 [-] ... exponent polytropy pro změnu stavu plynu v trubce a průřezu ventilu

k_2 [-] ... exponent polytropy pro změnu stavu ve válci

Hodnoty / p / a / w / v místech I - III /obr. 1/ jsou označeny 1 + 3.

Proměnlivé velikosti na počátku časového intervalu nejsou označeny, zatímco hodnoty platné pro konec intervalu jsou označeny.

Střední hodnoty v časovém intervalu mají index m .

Pro změny stavu ve válci se může použít, je-li výfukový ventil uzavřen, těchto rovnic :

$$p'_2 = A_1 w'_3 + B_1$$

$$A_1 = \frac{k_2 P_{zm}}{V_{zm}} q_b \Delta t \quad B_1 = p_2 + \frac{k_2 P_{zm}}{V_{zm}} (w_3 q_a \Delta t - \Delta V_2)$$

kde náhradní průřez je dán

$$q_a = \frac{1}{3} (q + \frac{q}{2}) \quad q_b = \frac{1}{3} (q' + \frac{q}{2})$$

Dále pro sací trubku platí

$$p'_2 = M'_2 - \frac{1}{K} w'_2 \quad M'_2 = p_0 + 2 p'_{v2} \quad 4.C/$$

podle rovnice kontinuity s ohledem na proměnlivou měrnou hmotu.

$$w'_2 = w'_3 \cdot \frac{q'}{f} \left(\frac{p'_2}{p'_3} \right)^{\frac{1}{k_1}}$$

a dále

$$p'_2 = M'_2 - G w'_3 \quad G = \frac{1}{K} \cdot \frac{q'}{f} \left(\frac{p'_3}{p'_2} \right)^{\frac{1}{k_1}} \quad 5.C/$$

K plyne z rovnice 2.C/

Pro průřez III platí rovnice proudění /viz na př. lit. 3//

$$w'_3^2 = \frac{2g k_1}{k_1 - 1} p'_2 v'_2 \left[1 - \left(\frac{p'_2}{p'_3} \right)^{\frac{k_1 - 1}{k_1}} \right] \quad 6.C/$$

jde-li o podkritické proudění, t.j. poměr $\frac{p'_2}{p'_3} > \beta_{kr} = 0,528$
což je v našem případě splněno.

Nahrazením výrazu $\frac{k_1}{k_1 - 1} \left[1 - \left(\frac{p'_2}{p'_3} \right)^{\frac{k_1 - 1}{k_1}} \right]$ výrazem $\left(\frac{p'_2}{p'_3} \right)^{\frac{2}{k_1}} \cdot \left(1 - \frac{p'_2}{p'_3} \right)$

si rovnici 6.C/ upravíme do tvaru

$$w'_3^2 = 2g v'_2 \left(\frac{p'_2}{p'_3} \right)^{\frac{2}{k_1}} (p'_2 - p'_3)$$

přičemž vznikne chyba při $\nu = 0,5$ asi 0,8% / $k_1 = 1,4$ /

Dále užitím rovnice polytropy

$$p'_2 v'_2^{-k} = p_0 v_0^{-k}$$

upravíme výraz na

$$w'_3^2 = 2g v_0 \left(\frac{p_0}{p'_2} \right)^{\frac{1}{k_1}} \left(\frac{p'_2}{p'_3} \right)^{\frac{2}{k_1}} (p'_2 - p'_3) = W(p'_2 - p'_3) \quad 7.C/$$

$$\text{kde } W = 2g v_0 \left(\frac{p_0^2}{p'_2 p'_3} \right)^{\frac{1}{2k_1}},$$

Použijeme-li ve výrazech A_1 , B_1 v prvním přiblížení místo p_{zm} hodnotu p_z a ve výrazech pro G a pro W místo $\frac{p_1}{p_2}$ resp. $\frac{p_0^2}{p_1' p_2'}$ poměr tlaků na počátku intervalu lze určit w_3' , p_z' , p_2' . Zavedeme-li

$$S = W(G+A_1) ; \quad T = W(M_2' - B_1)$$

po dosazení do 7.C/ za p_2' , p_z' dostaneme

$$w_3'^2 + w_3' W(G+A_1) - W(M_2' - B_1) = 0$$

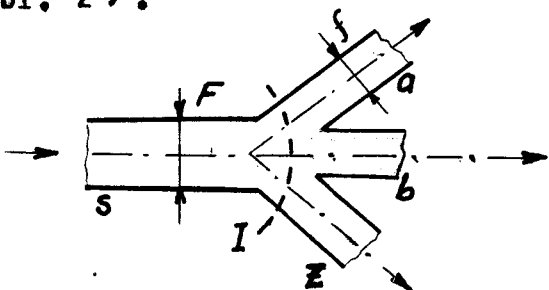
$$w_3' = -\frac{S}{2} + \sqrt{\frac{S^2}{4} + T} \quad 8.C/$$

Tím jsou dány také ostatní veličiny podle příslušných rovnic 3.C/, 4.C/. V rovnici 8.C/ platí kladné znaménko, proudí-li plyn z potrubí do válce. Při opačném prouďení platí opačné znaménko. V rovnících 3.C/ a 5.C/ je pak nutno brát rychlosť negativně.

C.3. Okrajové podmínky v ústí trubky

U jednoválcových strojů ústí sací trubka obvykle do atmosféry. Pak máme pro průřez ústí podmínu $p_1 = p_0$ a rovnici $1.C/p_v = p_r$. To zn., že vlna, která se šíří proti otevřenému ústí, je odražena zpět negativně. Je-li na ústí trubky tlumič / filtr /, probíhá odraz jinak. Může se zde použít analogie s clonami.

U víceválcových strojů ústí zpravidla sací trubky do jedné společné přes rozvětvení a musí se hledat další zákon / viz obr. 2 /.



obr.2

Positivní směr uvažujeme od válce. Z rovnosti tlaků v průřezu 1 plyne:

$$\rho_n = \rho_s / n = a/z$$

Dále z podmínky kontinuity

$$f(w_a + w_b + \dots + w_z) = F \cdot w_s$$

a vzniká řešení pro jednotlivé větve trubek,

$$\rho_n = \rho_o + p_{vn} + p_{rn} \quad /n = a/z \quad 9.C/$$

$$w_n = K(p_{vn} - p_{rn}) \quad n = a/z \quad 10.C/$$

$$\rho_s = \rho_o + p_{vs} + p_{rs} \quad 11.C/$$

$$w_s = K(p_{vs} - p_{rs}) \quad 12.C/$$

přičemž byla dána počáteční rychlosť proudění $w_o = 0$.
 Jestliže jsou nyní známý hodnoty funkcií tlakových vln
 p_{vs} , $p_{ra} + z$ jdeucích k místu rozvětvení v určitém čase,
 zůstávají jako neznámé velikosti $p_{va} + z$, $p_{a/z}$, $w_{a/z}$,
 p_a , p_{rs} , w_s , tedy $3/z - a/z + 3$ neznámé, k jejichž vy-
 jádření slouží výše uvedené rovnice. Pro výpočet na vál-
 ci a na ústí trubek je třeba nyní jen velikostí $p_{va} + z$,
 p_{rs} . Z výše uvedených rovnic vyplývá nehomogenní systém
 ve formě

$$(1+\epsilon)p_{ra} + p_{rb} + \dots + p_{rz} = \epsilon(p_{rs} - p_{ra}) + \sum_{n=a}^z p_{rn}$$

$$p_{ra} + (1+\epsilon)p_{rb} + \dots + p_{rz} = \epsilon(2p_{rs} - p_{rb}) + \sum_{n=a}^z p_{rn} \quad 13.C/$$

$$p_{ra} + p_{rb} + \dots + (1+\epsilon)p_{rz} = \epsilon(2p_{rs} - p_{ra}) + \sum_{n=a}^z p_{rn}$$

kde je poměr $\frac{F}{f} = \epsilon$

Z toho vyplývají řešení $p_{va} + z$ v lineární závislosti
 a dále podle rovnic 9.C/ a 11.C/ také p_{rs} . Pro případ
 dvou vidlicovitých trubek dostáváme vztahy:

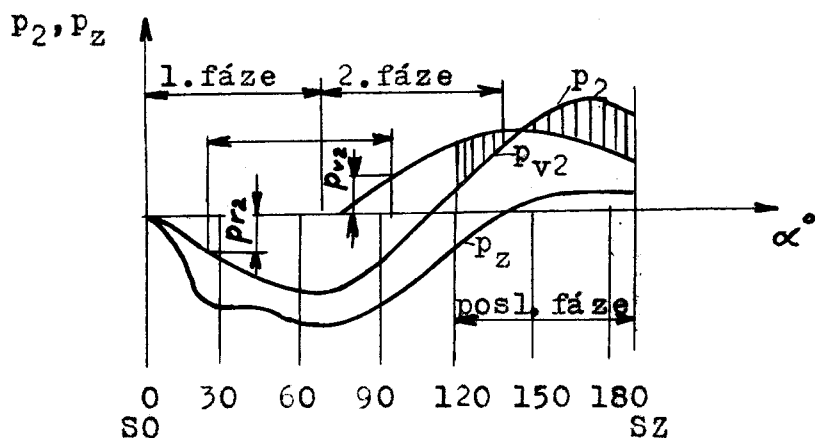
$$p_{ra} = \frac{1}{2+\epsilon} (-\epsilon p_{ra} + 2p_{rb} + 2\epsilon p_{rs}) \quad 14.C/$$

p_{vb} obdržíme záměnou indexů a, b.

$$p_{rs} = \frac{1}{2+\epsilon} [2p_{ra} + 2p_{rb} + (\epsilon-2)p_{rs}] \quad 15.C/$$

C.4. Způsob výpočtu

Provedenými pokusy bylo zjištěno, že nejlépe souhlasí při výpočtu předpoklad adiabatické změny stavu plynu v sací trubce a ventilu / $k_1 = 1,4$ / a isotermické změny stavu ve válci / $k_2 = 1$ /, přičemž průběh tlaku ve válci byl jen nepodstatně ovlivněn způsobem změny stavu. Jsou-li dány potřebné parametry / délka trubky, průměr trubky, otáčky, atmosférický tlak, teplota atp. /, pak obr. 3 udává základní formu průběhu tlaků. Přitom se vychází z klidného obsahu trubky. Se začátkem sání se oddeluje od válce podtlaková vlna, která dojde k válci zpět teprve po dvojím průběhu trubky, když byla na otevřeném konci úplně negativně odražena zpět.



obr. 3

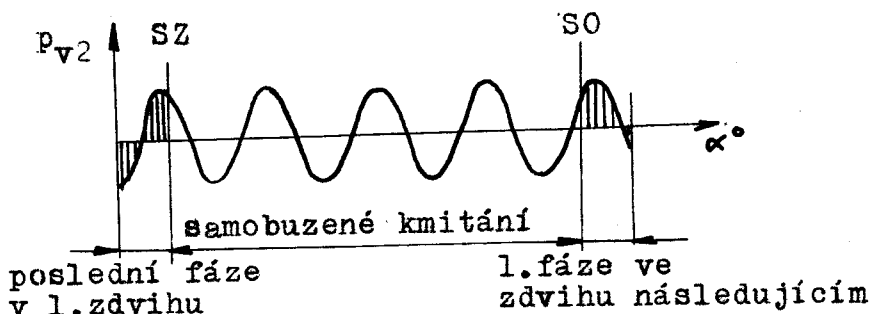
1. fázi, která trvá po dobu $2l/a$, což je doba vlastního kmítu obsahu trubky, je $p_{v2} = 0$, takže p'_z a p'_2 lze počítat intervalově podle udaných rovnic. Hodnota amplitudy vlny jdoucí od válce / dopředné / je určena z atmosférického tlaku p_0 a absolutního tlaku p_2 .

Ve 2. fázi se jeví negativní hodnota za $2l/a$ vteřin jako pozitivní, takže může být vypočten průběh tlaku v dalším intervalu. U složitějšího potrubí se vysetří hodnota amplitud podle zákonů o odrazu v místě rozvětvení.

Tak je třeba postupovat dál, obecně je hodnota amplitudy

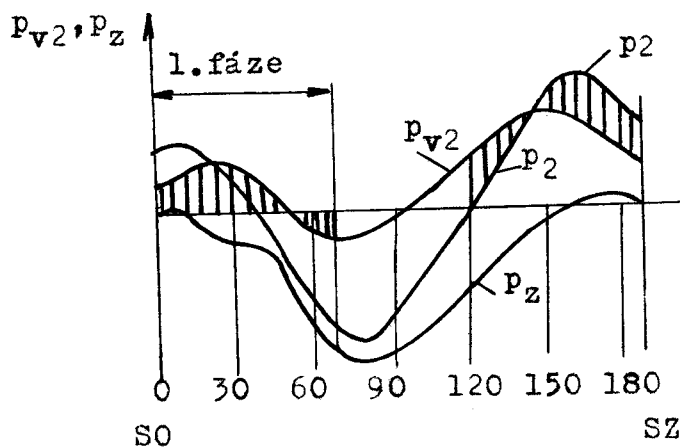
vlny, jdoucí od válce zpět, jak je označeno pro hodnotu 2. fáze, dána vztahem $p_{r2} = p_2 - p_0 - p_{v2}$, tedy rozdíl pořadnic mezi liniemi tlaků p_{v2} a p_2 , přičemž křivka p_{v2} je vzata jako nulová linie.

Tvar vlastního kmitu po uzavření sacího ventilu je určen řešovanou zpětnou vlnou, která v poslední fázi jede od ventilu. I za předpokladu útlumu zůstává kmit v trubce zachován, takže tvoří pro příští sací zdvih počáteční podmíinku. /viz obr. 4/. Tím bude vlastně 2. sací zdvih oproti prvnímu deformován.



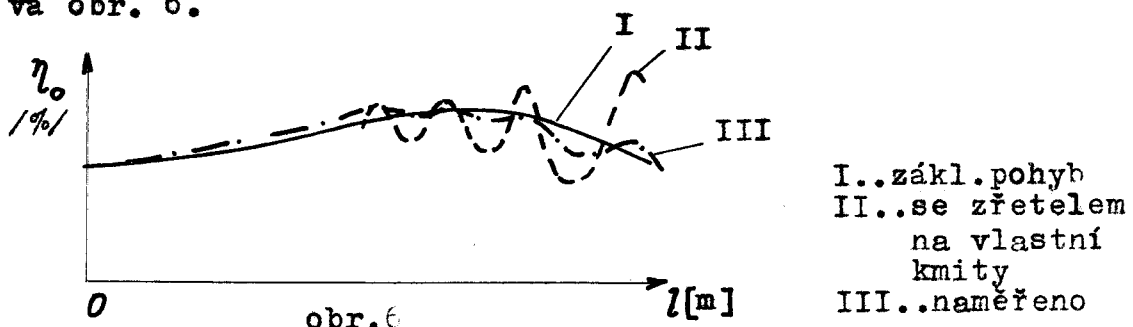
obr.4

Vlastní pohyb plynu v trubce je podobný jak po prvním, tak po druhém sacím zdvihu, takže jak se ukazuje, nenastává žádná podstatnější změna hodnot při třetím sacím zdvihu oproti druhému. /viz obr.5/ Proto stačí provést výpočet ve dvou krocích, výsledky druhého kroku pak uvažujeme jako konečné.



obr.5

Jak je vidět, závisí na časové poloze vlastního kmítu k následujícímu sacímu zdvihiu, zmenší- li se objemová účinnost ve druhém zdvihiu oproti základnímu pohybu, nebo naopak dojde k jejímu zvýšení. Podle obr.4 by došlo k jejímu snížení, preteže vlastní kmít způsobuje podtlak uprostřed sacího zdvihu. Leží-li vlna v zrcadlovém obrazu k této, pak dochází ke zvýšení objemové účinnosti / přeplňuje /. Potom nastávají stavy blízké resonanci. Pokusy ukázaly, že amplitudy vlastního kmítu jsou menší, čím vyšší je vlastní frekvence. Podle toho je klesání objemové účinnosti při užití kratší trubky menší a stavy blízké resonanci se srázejí bliže k sobě. Až k délce trubky 0 jich je ∞ , ale hodnoty křivky II jdou stále více přes hodnoty křivky I /viz obr. 6/. Prakticky se ukazuje, že pokles není tak velký, jaký dává výpočet. To je pochopitelné, protože s poklesem otáček se resonanční stavy rozpadají a při vysokých otáčkách dochází ke zvýšení útlumu vlivem větší turbulencie. Průběh objemové účinnosti v závislosti na délce trubky udává obr. 6.



Se zvýšením η_0 stoupá také obyčejně výkon potřebný k násáti vzduchu do válce. Střední sací tlak nabývá s délkou trubky. Tato hodnota zmenšuje částečně tlak p_s zvýšený částečným přeplněním. Celková účinnost je pak

$$\eta' = \eta \left(1 - \frac{\eta_0}{\eta} \cdot \frac{p_s}{p_s'} \right)$$

přičemž η je celková účinnost bez sací trubky. / $l=0$ /

p_s , p_s' jsou střední sací tlaky,

η_0 , η' jsou objemové účinnosti.

D.

D.1 Výpočet tlaku před sacím ventilem / 1.způsob /

Výpočet byl proveden pro jeden válec a tyto počáteční podmínky:

atmosférický tlak $10000[\text{kp/m}^2]$ / 736 Terr /,

vlhkost vzduchu $\varphi = 40[\%]$

vnější teplotu $T = 293[^{\circ}\text{K}]$

délka sací trubky $l = 1200[\text{mm}]$, takže celková délka sacího traktu po připočtení délky kanálu v hlavě je $1326[\text{mm}]$.

Vnitřní průměr sací trubky $d = 45[\text{mm}]$

otáčky byly brány pro srovnání s naměřenými hodnotami 1200, 1400, 1600, 1800, 2000 [$1/\text{min}$].

Další veličiny dané konstrukcí motoru:

průměr pístu $D = 130[\text{mm}]$

zdvih $z = 140[\text{mm}]$

kompresní poměr $k = 1:14$

délka ojnice $L = 235[\text{mm}]$

Motor M 630 je vodou chlazený šestiválec, v měřeném uspořádání měl každý válec samostatnou sací trubku na konci otevřenou, takže stačí zkoumat pouze jeden válec.

a/ rychlosť zvuku $c = \sqrt{kgRT} = \sqrt{1,4 \cdot 981 \cdot 29,27 \cdot 293} = 343[\text{m/s}]$

b/ hodnota G

$$\text{objem v DÚ } (1+G) V_0 = \frac{\pi D^2}{4} z + V_s = (105,3 + 14,2) 10^{-5} = 129,5 \cdot 10^{-5} [\text{m}^3]$$

$$\text{v HÚ } (1-G) V_0 = V_s = 14,2 \cdot 10^{-5} [\text{m}^3]$$

$$\Rightarrow G = 0,87 \quad , \quad V_0 = 106,85 \cdot 10^{-5} [\text{m}^3]$$

c/ frekvenční poměr $q = 30c/N \cdot l$ / viz rovnice v kap.B/
takže pro délku trubky 1326 mm dostáváme tabulku

$N [1/\text{min}]$	1200	1400	1600	1800	2000
$q [-]$	6,46	5,54	4,85	4,31	3,87

d/ hodnota δ_k

$$\delta_k = \frac{V_0 N D_k H_k}{60 A_p \cdot c} = \frac{106,85 \cdot 10^5 \cdot k \cdot \pi \cdot N \cdot H_k}{60 \cdot 15,9 \cdot 10^{-4} \cdot 343 \cdot 4}$$

$$A_p = \frac{\pi d^2}{4} = \frac{\pi \cdot 0,045^2}{4} = 15,9 \cdot 10^{-4} [m^2]$$

pro každé otáčky je uvedena vždy u příslušné tabulky.

e/ hodnoty A, B - viz rovnice v kap. B.

$$A = \frac{30 c F}{N q}$$

$$\text{kde } F = 4,84 \cdot 10^{-2} /m / \text{viz}$$

liter. 4/

B = n/2q, opět je uvedeno vždy u příslušné tabulky pro dané otáčky.

$$n = 1,2 \div 8$$

bylo vzato prvních 8 členů ve Fourierově rozvoji.

f/ velikosti úhlů Θ_k a koeficientů H_k byly odečteny podle obr. 2, 3 v kap. B a tabulevány. Bylo zjištěno, že v lit. 1 byla chybně uvedena desetinná čárka u koeficientů A v grafech pro určení Θ_k i H_k .

g/ hodnoty koeficientu c_k a fázového úhlu ϕ_k jsou odečteny z vektorových diagramů v obr. 1.

h/ výpočet tlaku provedeme podle rovnice 16.B/

$$\begin{aligned} p &= -\frac{s_0 c G V_0 N}{30 A_p} \left[\sum_{n \neq k} B_n H_n \cos(nwt + \Theta_n) + \frac{B_k H_k}{c_k} \cos(kwt - \phi_k) \right] = \\ &= -\frac{16 \cdot 343 \cdot 0,87 \cdot 106,85 \cdot 10^5 N}{9,81 \cdot 30 \cdot 15,9 \cdot 10^{-4}} \left[\sum_{n \neq k} B_n H_n \cos(nwt + \Theta_n) + \frac{B_k H_k}{c_k} \cos(kwt - \phi_k) \right] = \\ &= -K \left[\sum_{n \neq k} B_n H_n \cos(nwt + \Theta_n) + \frac{B_k H_k}{c_k} \cos(kwt - \phi_k) \right] \end{aligned}$$

kde koeficienty $B_0 = \frac{1}{2}$

$$B_6 = 0$$

$$B_1 = 0,942$$

$$B_7 = -0,063$$

$$B_2 = 0,786$$

$$B_8 = -0,066$$

$$B_3 = 0,564$$

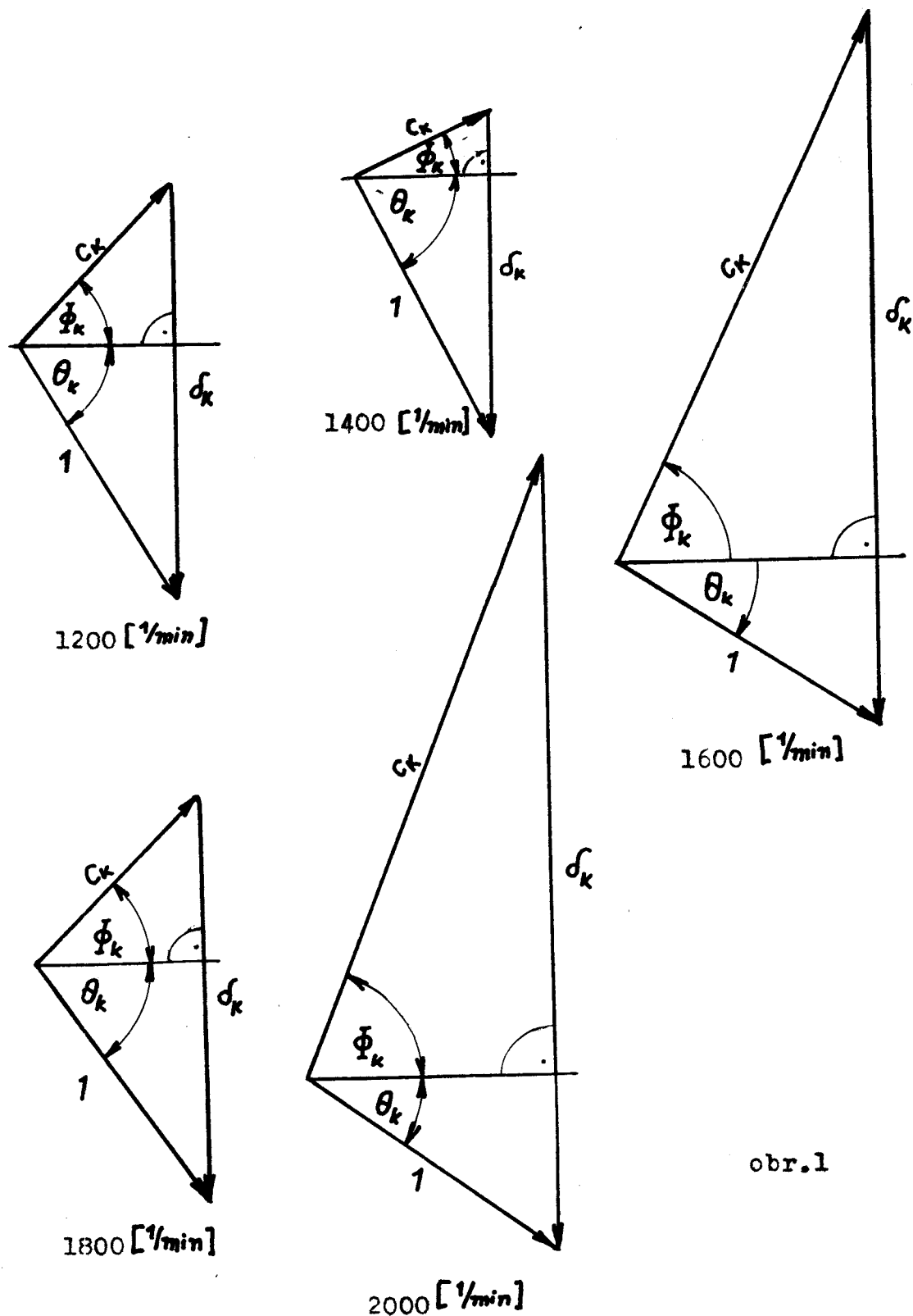
$$B_9 = -0,030$$

$$B_4 = 0,134$$

viz rovnice 5.B/

Hodnoty K jsou u příslušných tabulek.

$$J_0 = J_r + J_p = 1,17 + 0,08 = 1,18 [\text{kp/m}^3]$$



$$\gamma_v = \frac{1293}{P_0} \cdot \frac{273}{293+e} = 1293 \cdot \frac{273}{760} \cdot \frac{273}{293} = 1,17 \text{ [kp/m}^3\text{]} \quad \dots \text{měrná váha su- chého vzduchu}$$

$$\gamma_p = \gamma \cdot \gamma'' = 0,4 \cdot 0,018 = 0,08 \text{ [kp/m}^3\text{]} \quad \dots \text{měrná váha ob- sažené páry}$$

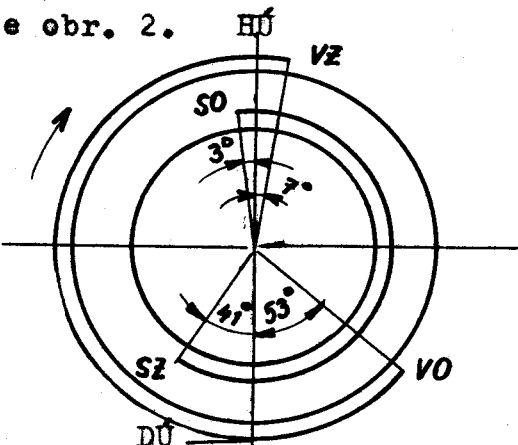
$$p_p = \gamma p_p'' = 0,4 \cdot 17 = 7 \text{ [Torr]} \quad \dots \text{parciální tlak páry}$$

$$p_r = P_{at} - p_p = 736 - 7 = 729 \text{ [Torr]} \quad \dots \text{parciální tlak suchého vzduchu}$$

Výsledky jsou zpracovány v tabulkách I + V a vyneseny do grafů g 1 + 5. Útlum byl brán stejně jako v kap.D.2, hodnoty účinností byly tabelovány v tab. 6.

D.2 Výpočet tlaku před sacím ventilem / 2.způsob /

Počáteční podmínky jsou stejné jako v D.1. Rychlosť zvuku je zde $a = 343 \text{ [m/s]}$. Je zde přesně uvažováno časování rozvodu podle obr. 2.



obr.2

Výpočet byl proveden pro 1200 a 1800 [1/min], protože je pro ruční počítání příliš zdlouhavý. Časový interval byl volen 10° otočení klikového hřídele, což je postačující hodnota, neboť nejbližší odražená vlna se vrátí vždy až po delším odpovídajícím čase. Hodnoty otevírání ventilu byly vzaty z továrního výkresu, průběh zdvihu byl approximován podle obr. 3, což je pro naše účely postačující. Hodnoty αG určující průřez $q' = \alpha G \pi d_h h \text{ [m}^3\text{]}$ byly vzaty z lit.3 podle obr. 4, který byl získán pro tvarově i rozměrově podobný ventil, jako je užit u motoru M 630. Při zdvihu $h > d_h/4$ již nedochází ke zvětšení průtočného průřezu, což se projeví přímkovou částí na obr.3. Vnitřní průřez trubky je opět $f = 15,9 \cdot 10^{-4} \text{ [m}^2\text{]}$, délka 1326 [mm].

Průměr ventilu $d_1 = 56 \text{ mm}$.

Koefficienty polytrop $k_1 = 1,4$, $k_2 = 1$

Potřebné hodnoty spočtené po 10° otečení klikového hřídele jsou v tab. 7.

Zdvih byl počítán podle vztahu

$$z_x = r(1 - \cos \alpha + \frac{r}{2L} \sin^2 \alpha)$$

kde $r = z/2$

$$\text{Objem je potom } V = \frac{\pi D^2}{4} z_x + V_S$$

$$\Delta V_z = V_z - V_1, \quad V_{zm} = \frac{V_1 + V_z}{2}$$

Pro otáčky 1200 [1/min] je časový interval příslušný otočení klikového hřídele o 10°

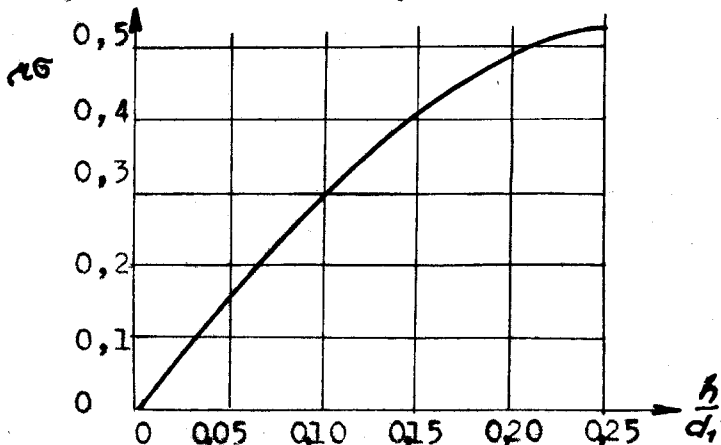
$$\Delta t = \frac{1666}{n} = \frac{1666}{1200} = 1,39 \cdot 10^{-3} [\text{s}]$$

protože jedné otáčce přísluší čas $60/n$, 10° je potom $1/36$ z obvodu. Jedna fáze pohybu trvá po dobu $t = \frac{2l}{a} =$

$$= \frac{2 \cdot 3326}{343} = 0,00776 [\text{s}]$$

čemuž odpovídá otočení hřídele o 56° .

Výpočet byl prováděn ve dvou krocích podle udaných rovnic v kap. c. V tabulce 8 a grafu g6 je první krok, který vyhází z klidného obsahu sací trubky, jak bylo již dříve uvedeno. Poslední část prvního sacího zdvihu určuje potom kmit v sací trubce, který přetravá až do dalšího sacího zdvihu a tvoří pro něj počáteční podmínu. Jak je vidět, v grafu 7. Druhý sací zdvih pak dává konečnou hodnotu tlaku podle tab. 9 a grafu 8. Pro zpřesnění výpočtu byly v prvních 2 intervalech, kdy nastává překrytí rozvodu, vzaty naměřené hodnoty tlaku ve válci p_z .

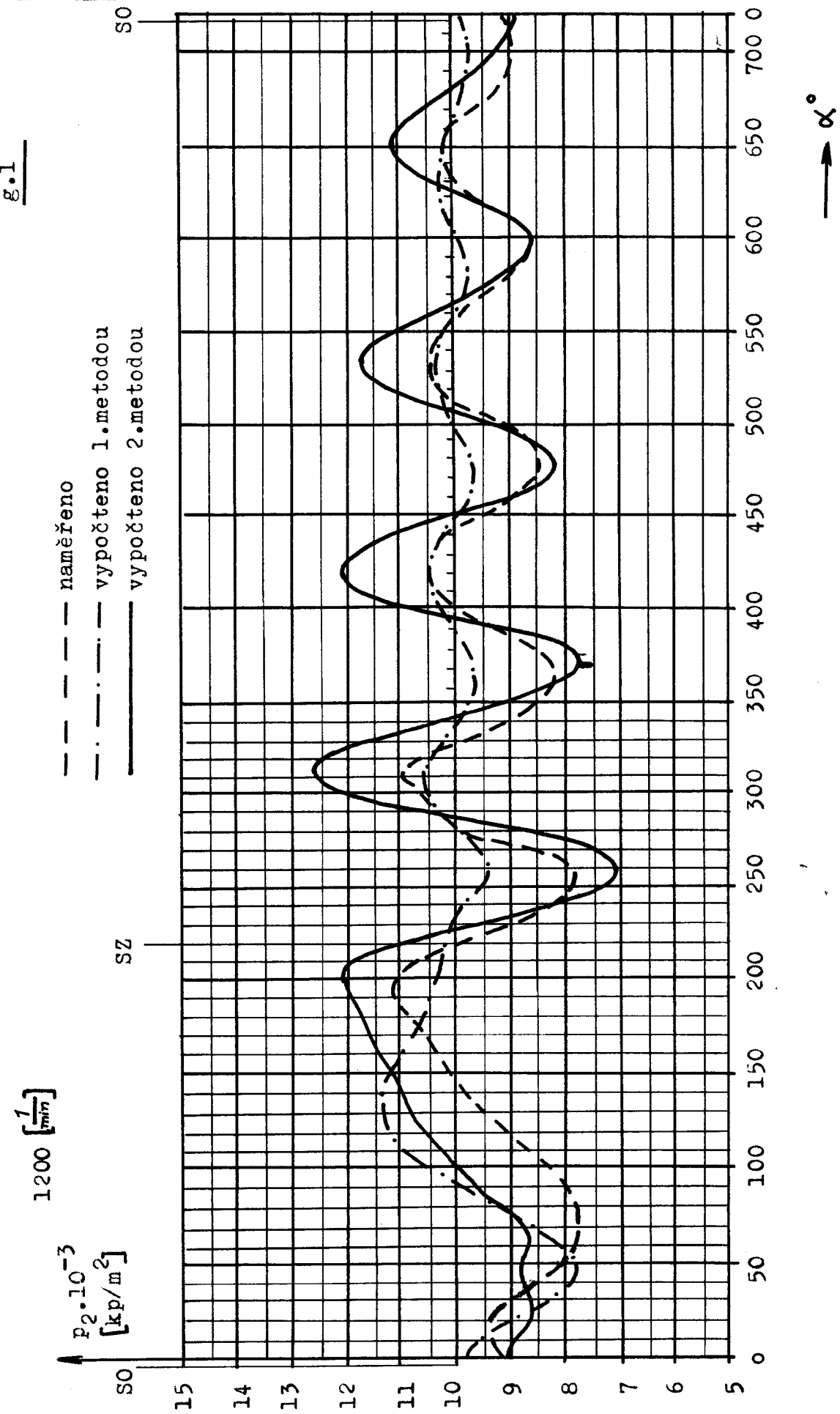


obr. 4

1200 [$\frac{1}{min}$]

tab.I

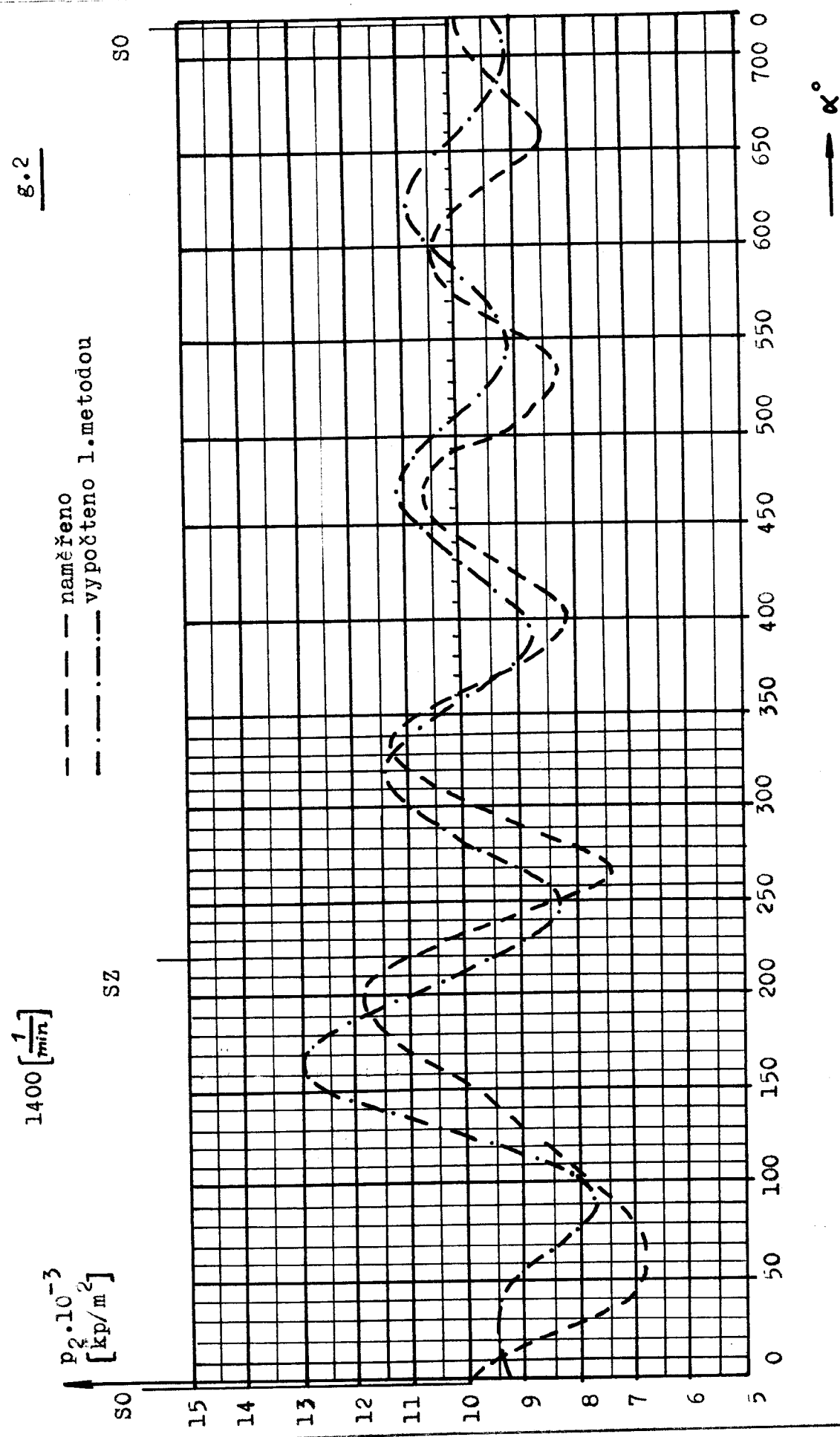
α [°]	ωt [°]	$\omega t + \theta_1$	$2\omega t + \theta_2$	$3\omega t + \theta_3$	$4\omega t + \theta_4$	$5\omega t + \theta_5$	$7\omega t - \phi_k$	$B\omega t + \theta_8$	P [kp/m ²]
0	-45	25	-12	-54	-99	-150	-365	-284	-0170
10	-40	30	-2	-39	-79	-125	-330	-244	-0300
20	-35	35	8	-24	-59	-100	-295	-204	-1085
30	-30	40	18	-9	-39	-75	-260	-164	-1590
40	-25	45	28	6	-19	-50	-225	-124	-2020
50	-20	50	38	21	1	-25	-190	-84	-2090
60	-15	55	48	36	21	0	-155	-44	-1820
70	-10	60	58	51	41	25	-120	-4	-1400
80	-5	65	68	66	61	50	-085	36	-0735
90	0	70	78	81	81	75	-50	76	-012
100	5	75	88	96	101	100	-15	116	630
110	10	80	98	111	121	125	20	156	1030
120	15	85	108	126	141	150	55	196	1080
130	20	90	118	141	161	175	90	236	1225
140	25	95	128	156	181	200	125	276	1450
150	30	100	138	171	201	225	160	316	1080
160	35	105	148	186	221	250	195	356	0825
170	40	110	158	201	241	275	230	396	0770
180	45	115	168	216	261	300	265	436	670
190							300		255
200		$q=6,46$		$K=0950$	$\phi_k=1,4$		335		460
210		$c_k=0,75$		$\phi_k=50^\circ$		$A=0,064$	370		505
220							405		365
230		$B_8=0,618$		$\theta_8=76^\circ$		$H_8=2,7$	440		015
240		$B_7=0,540$		$\theta_7=60^\circ$		$H_7=6,5$	475		-215
250		$B_5=0,386$		$\theta_5=75^\circ$		$H_5=3,0$	510		-450
260		$B_4=0,308$		$\theta_4=81^\circ$		$H_4=1,5$	545		-510
270		$B_3=0,231$		$\theta_3=81^\circ$		$H_3=0,8$	580		-395
280		$B_2=0,154$		$\theta_2=78^\circ$		$H_2=0,5$	615		-130
290		$B_1=0,075$		$\theta_1=70^\circ$		$H_1=0,2$	650		175
300							685		425
310							720		515
320							755		420
330							790		175



1400 [$\frac{1}{min}$]

tab.2

α [°]	ωt [°]	$\omega t + \theta_1$	$2\omega t + \theta_2$	$3\omega t + \theta_3$	$4\omega t + \theta_4$	$7\omega t + \theta_7$	$8\omega t + \theta_8$	$5\omega t - \theta_k$	p [kp/m ²]
00	-45	+27	-11	-54	-102	-237	-279	-255	-0780
10	-40	32	-1	-39	-82	-202	-239	-230	-0520
20	-35	37	9	-24	-62	-167	-199	-205	-0440
30	-30	42	19	-9	-42	-132	-159	-180	-0460
40	-25	47	29	6	-22	-97	-119	-155	-0580
50	-20	52	39	21	-2	-62	-79	-130	-0820
60	-15	57	49	36	18	-27	-39	-105	-1280
70	-10	62	59	51	38	+8	1	-080	-1690
80	-5	67	69	66	58	43	41	-55	-2180
90	0	72	79	81	78	78	81	-30	-2260
100	5	77	89	96	98	113	121	-05	-2180
110	10	82	99	111	118	148	161	20	-1320
120	15	87	109	126	138	183	201	45	-450
130	20	92	119	141	158	218	241	70	650
140	25	97	129	156	178	253	281	95	1840
150	30	102	139	171	198	288	321	120	2800
160	35	107	149	186	218	323	361	145	3410
170	40	112	159	201	238	358	401	170	3480
180	45	117	169	216	258	393	441	195	3070
190								220	1465
200		q=5,54		K=1110		A=0,064		245	0805
210		c _k =0,48	$\theta_k = 30^\circ$	$\delta_k = 1,11$				270	000
220		B ₁ =0,09	$\theta_1 = 72^\circ$	H ₁ =0,5				295	-0790
230		B ₂ =0,181	$\theta_2 = 79^\circ$	H ₂ =0,7				320	-1465
240		B ₃ =0,271	$\theta_3 = 81^\circ$	H ₃ =1,0				345	-1850
250		B ₄ =0,362	$\theta_4 = 78^\circ$	H ₄ =2,2				370	-1890
260		B ₅ =0,452	$\theta_5 = 64^\circ$	H ₅ =6,2				395	-1570
270		B ₆ =0,633	$\theta_6 = 78^\circ$	H ₆ =2,5				420	-0960
280		B ₇ =0,724	$\theta_7 = 81^\circ$	H ₇ =1,0				445	-165
290								470	+660
300								495	1360
310								520	1810
320								545	1925
330								570	1660



1600 [$\%_{min}$]

tab.3

α [°]	ωt [°]	$\omega t + \theta_1$	$2\omega t + \theta_2$	$3\omega t + \theta_3$	$4\omega t + \theta_4$	$7\omega t + \theta_7$	$8\omega t + \theta_8$	$5\omega t - \theta_5$	p [kp/m ²]
0	-45	28	-10	-55	-108	-234	-282	-290	-1650
10	-40	33	0	-40	-88	-199	-242	-265	-2000
20	-35	38	10	-25	-68	-164	-202	-240	-2240
30	-30	43	20	-10	-48	-129	-162	-215	-2420
40	-25	48	30	+5	-28	-94	-122	-190	-2460
50	-20	53	40	20	-8	-59	-82	-165	-2400
60	-15	58	50	35	12	-24	-42	-140	-2270
70	-10	63	60	50	32	11	-2	-115	-2080
80	-5	68	70	65	52	46	+38	-90	-1880
90	0	73	80	80	72	81	78	-65	-1330
100	5	78	90	95	92	116	118	-40	-745
110	10	83	100	110	112	151	158	-15	-240
120	15	88	110	125	132	186	198	10	745
130	20	93	120	140	152	221	238	35	1980
140	25	98	130	155	172	256	278	60	2640
150	30	103	140	170	192	291	318	85	3100
160	35	108	150	185	212	326	358	110	3450
170	40	113	160	200	232	361	398	135	3500
180	45	118	170	215	252	396	438	160	3220
190								185	0955
200		$q = 4,85$		$K = 1270$		$A = 0,064$		210	0805
210		$c_k = 2,02$		$\phi_5 = 65^\circ$		$\delta_5 = 2,36$		235	0550
220								260	0170
230		$B_1 = 0,103$		$\theta_1 = 73^\circ$		$H_1 = 0,500$		285	-250
240		$B_2 = 0,206$		$\theta_2 = 80^\circ$		$H_2 = 0,75$		310	-615
250		$B_3 = 0,309$		$\theta_3 = 80^\circ$		$H_3 = 1,25$		335	-0820
260		$B_4 = 0,412$		$\theta_4 = 72^\circ$		$H_4 = 3,7$		360	-0960
270		$B_5 = 0,515$		$\theta_5 = 33^\circ$		$H_5 = 11,5$		385	-0820
280		$B_7 = 0,722$		$\theta_7 = 81^\circ$		$H_7 = 1,5$		410	-615
290		$B_8 = 0,824$		$\theta_8 = 78^\circ$		$H_8 = 0,5$		435	-250
300								460	+170
310								485	550
320								510	0800
330								535	0955

8.31600 [$\frac{1}{\text{min}^2}$] $p_2 \cdot 10^{-3}$
[kp/m²]

SO

— — — — — naměřeno
 - - - - - vypočteno 1. metodou

SZ

SO

15

14

13

12

11

10

9

8

7

6

5

α°



14

13

12

11

10

9

8

7

6

5

4

3

2

1

0

-1

-2

-3

-4

-5

-6

-7

-8

-9

-10

-11

-12

-13

-14

-15

-16

-17

-18

-19

-20

-21

-22

-23

-24

-25

-26

-27

-28

-29

-30

-31

-32

-33

-34

-35

-36

-37

-38

-39

-40

-41

-42

-43

-44

-45

-46

-47

-48

-49

-50

-51

-52

-53

-54

-55

-56

-57

-58

-59

-60

-61

-62

-63

-64

-65

-66

-67

-68

-69

-70

-71

-72

-73

-74

-75

-76

-77

-78

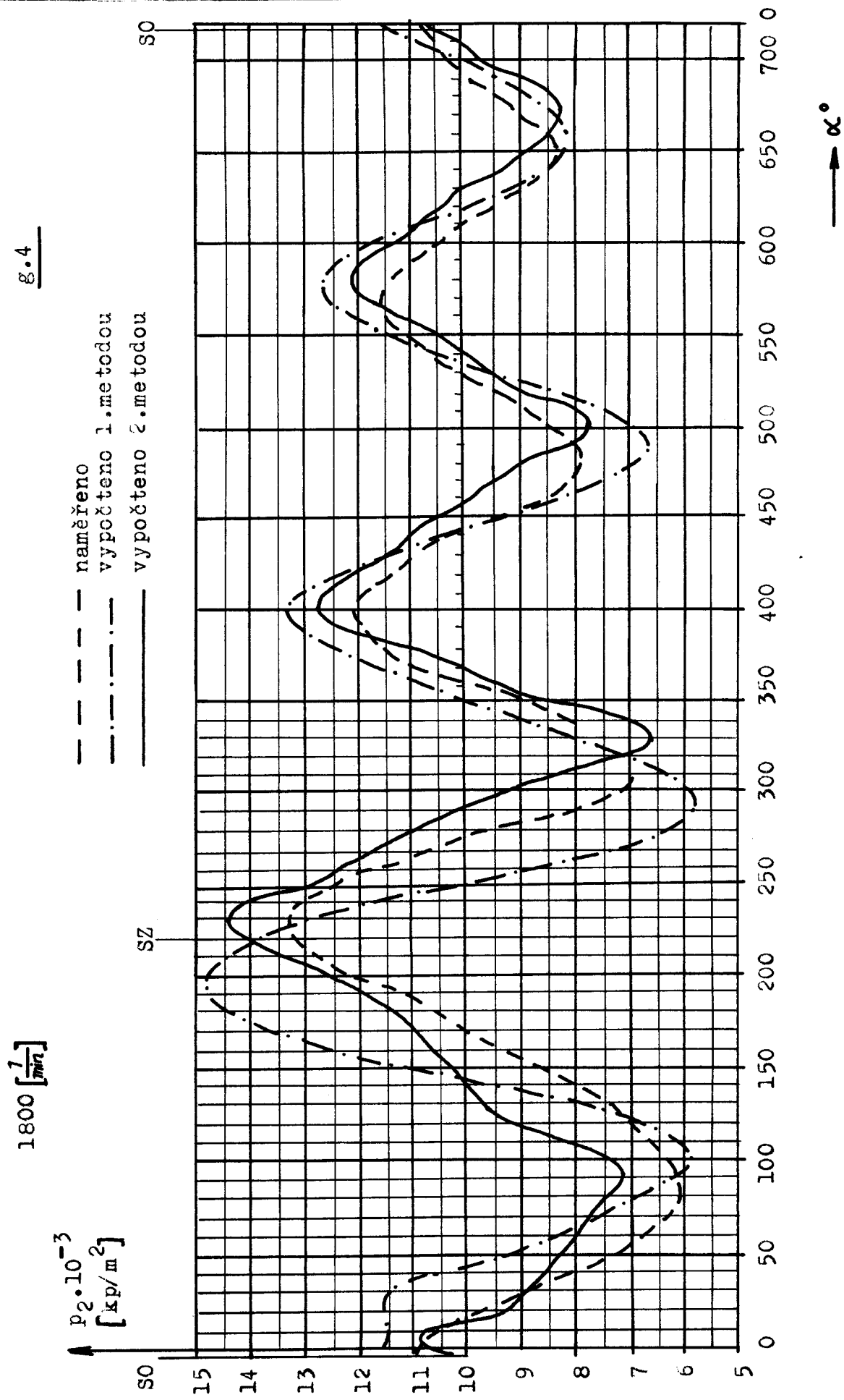
-79

-80

1800 [1/min]

tab.4

α [°]	ωt [°]	$\omega t +$	$2\omega t +$	$3\omega t +$	$5\omega t +$	$7\omega t +$	$8\omega t +$	$4\omega t -$	p [kp/m ²]
0	-45	29	- 9	- 56	-153	-236	-292	-228	1770
10	-40	34	1	- 41	-128	-201	-252	-208	1505
20	-35	39	11	- 26	-103	-166	-212	-188	1750
30	-30	44	21	- 11	- 78	-131	-172	-168	1630
40	-25	49	31	+ 4	- 53	- 96	-132	-148	270
50	-20	54	41	19	- 28	- 61	- 92	-128	-0790
60	-15	59	51	34	- 3	- 26	- 52	-108	-1950
70	-10	64	61	49	28	9	- 12	- 88	-2260
80	- 5	69	71	64	53	44	28	- 68	-3140
90	0	74	81	79	78	79	68	- 48	-3820
100	5	79	91	94	103	114	108	- 28	-4150
110	10	84	101	109	128	149	148	- 8	-3980
120	15	89	111	124	153	184	188	12	-3260
130	20	94	121	139	178	219	228	32	-1980
140	25	99	131	154	203	254	268	52	-0825
150	30	104	141	169	228	289	308	72	1140
160	35	109	151	184	253	324	348	92	2160
170	40	114	161	199	278	359	388	112	2900
180	45	119	171	214	303	394	428	132	5200
190								152	4120
200	$q = 4,31$			$K=1420$		$A=0,064$		172	4620
210	$c_k = 0,78$			$\Phi = 48^\circ$		$\delta_k = 1,39$		192	4570
220	$B_1 = 0,116$			$\theta_1 = 74^\circ$		$H_1 = 0,5$		212	3980
230								232	2880
240	$B_2 = 0,232$			$\theta_2 = 81^\circ$		$H_2 = 1,0$		252	1445
250	$B_3 = 0,350$			$\theta_3 = 79^\circ$		$H_3 = 2,0$		272	- 170
260	$B_4 = 0,464$			$\theta_4 = 56^\circ$		$H_4 = 7,8$		292	-1760
270								312	-3360
280	$B_5 = 0,580$			$\theta_5 = 72^\circ$		$H_5 = 4,0$		332	-4130
290	$B_7 = 0,810$			$\theta_7 = 79^\circ$		$H_7 = 1,5$		352	-4620
300	$B_8 = 0,928$			$\theta_8 = 68^\circ$		$H_8 = 1,0$		372	-4540
310								392	-3980
320								412	-2880



2000 [$1/\text{min}$]

tab.5

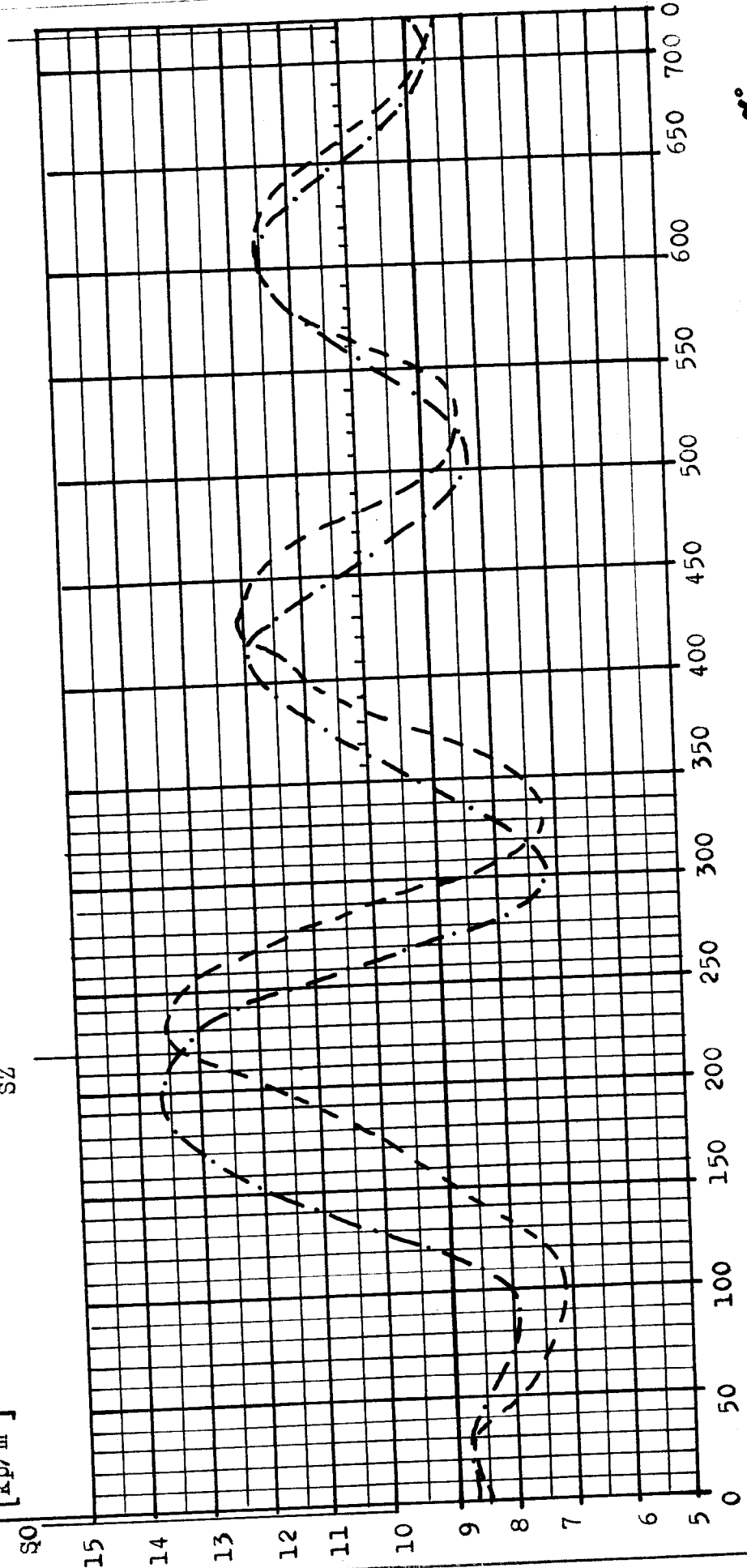
α [°]	ωt [°]	$\omega t + \theta_1$	$2\omega t + \theta_2$	$3\omega t + \theta_3$	$5\omega t + \theta_5$	$7\omega t + \theta_7$	$8\omega t + \theta_8$	$4\omega t - \phi_k$	p [kp/m ²]
0	-45	31	- 9	- 60	-147	-242		-250	-1520
10	-40	36	1	- 45	-122	-207		-230	-1320
20	-35	41	11	- 30	- 97	-172		-210	-1165
30	-30	46	21	- 15	- 72	-137		-190	-1330
40	-25	51	31	0	- 47	-102		-170	-1450
50	-20	56	41	15	- 22	- 67		-150	-1475
60	-15	61	51	30	3	- 32		-130	-1760
70	-10	66	61	45	28	3		-110	-1985
80	-5	71	71	60	53	38		-90	-1990
90	0	76	81	75	78	73		-70	-2160
100	5	81	91	90	103	108		-50	-1980
110	10	86	101	105	128	143		-30	-1575
120	15	91	111	120	153	178		-10	-0460
130	20	96	121	135	178	213		10	+ 060
140	25	101	131	150	203	248		30	625
150	30	106	141	165	228	283		50	2000
160	35	111	151	180	253	318		70	3020
170	40	116	161	195	278	353		90	3960
180	45	121	171	210	303	388		110	4180
190								130	2010
200		$q = 3,87$		$K = 1580$		$A = 0,064$		150	2700
210		$c_k = 2,20$		$\phi_k = 70^\circ$		$\delta_k = 2,66$		170	2930
220								190	2850
230		$B_1 = 0,129$		$\theta_1 = 76^\circ$		$H_1 = 0,3$		210	2700
240		$B_2 = 0,258$		$\theta_2 = 81^\circ$		$H_2 = 1,0$		230	2010
250		$B_3 = 0,387$		$\theta_3 = 75^\circ$		$H_3 = 3,0$		250	1065
260		$B_4 = 0,516$		$\theta_4 = 35^\circ$		$H_4 = 13,0$		270	000
270		$B_5 = 0,645$		$\theta_5 = 78^\circ$		$H_5 = 2,2$		290	-1065
280		$B_6 = 0,903$		$\theta_6 = 73^\circ$		$H_6 = 0,5$		310	-2010
290								330	-2700
300								350	-2930
310		$B_7 = 1,035$		$\theta_7 = 56^\circ$		$H_7 = 0$		370	-2850
320								390	-2700
330								410	-2010

g.5

— — — naměřeno
 - - - - - vypočteno 1. metodou

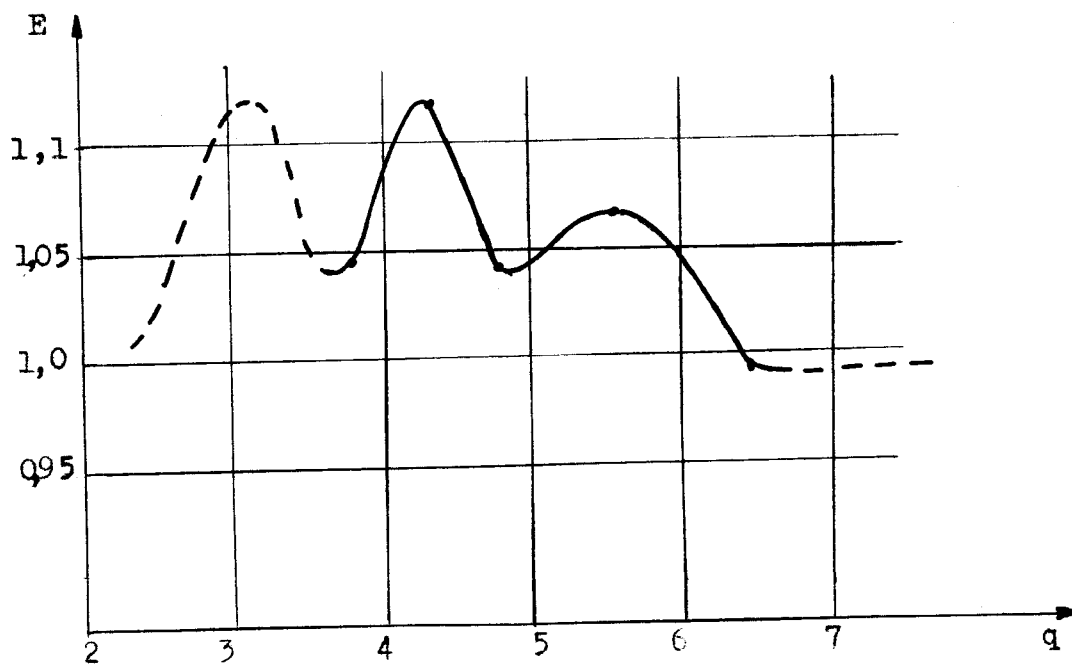
$$2000 \left[\frac{1}{m\eta} \right]$$

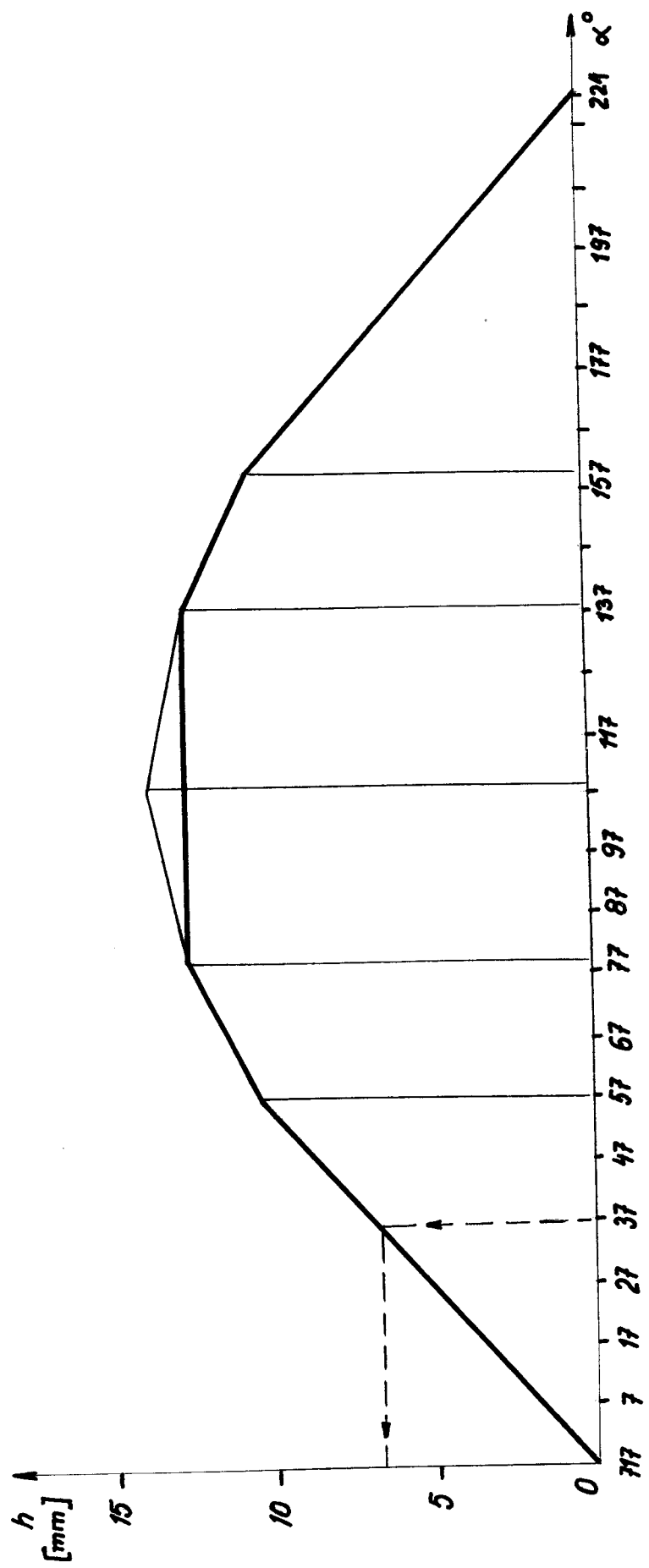
$$P_2 \cdot 10^{-3} \left[kp/m^2 \right]$$



tab. 6

N [$1/\text{min}$]	1200	1400	1600	1800	2000
q	6,46	5,54	4,85	4,31	3,87
k	7	5	5	4	4
δ_k	1,40	1,11	2,36	1,39	2,66
c_k	0,75	0,48	2,02	0,78	2,20
Φ_k	50°	30°	65°	48°	70°
B_k / D_k	-0,01144	0,03427	0,03427	0,10610	0,10610
$k\pi/4 - \Phi_k$	265°	195°	169°	132°	110°
$E =$ $1 - \frac{E_k}{c_k} \cos(\frac{k\pi}{4} - \Phi_k)$	0,9981	1,0727	1,0378	1,1262	1,0437





obr.3

Hodnoty potřebné pro výpočet

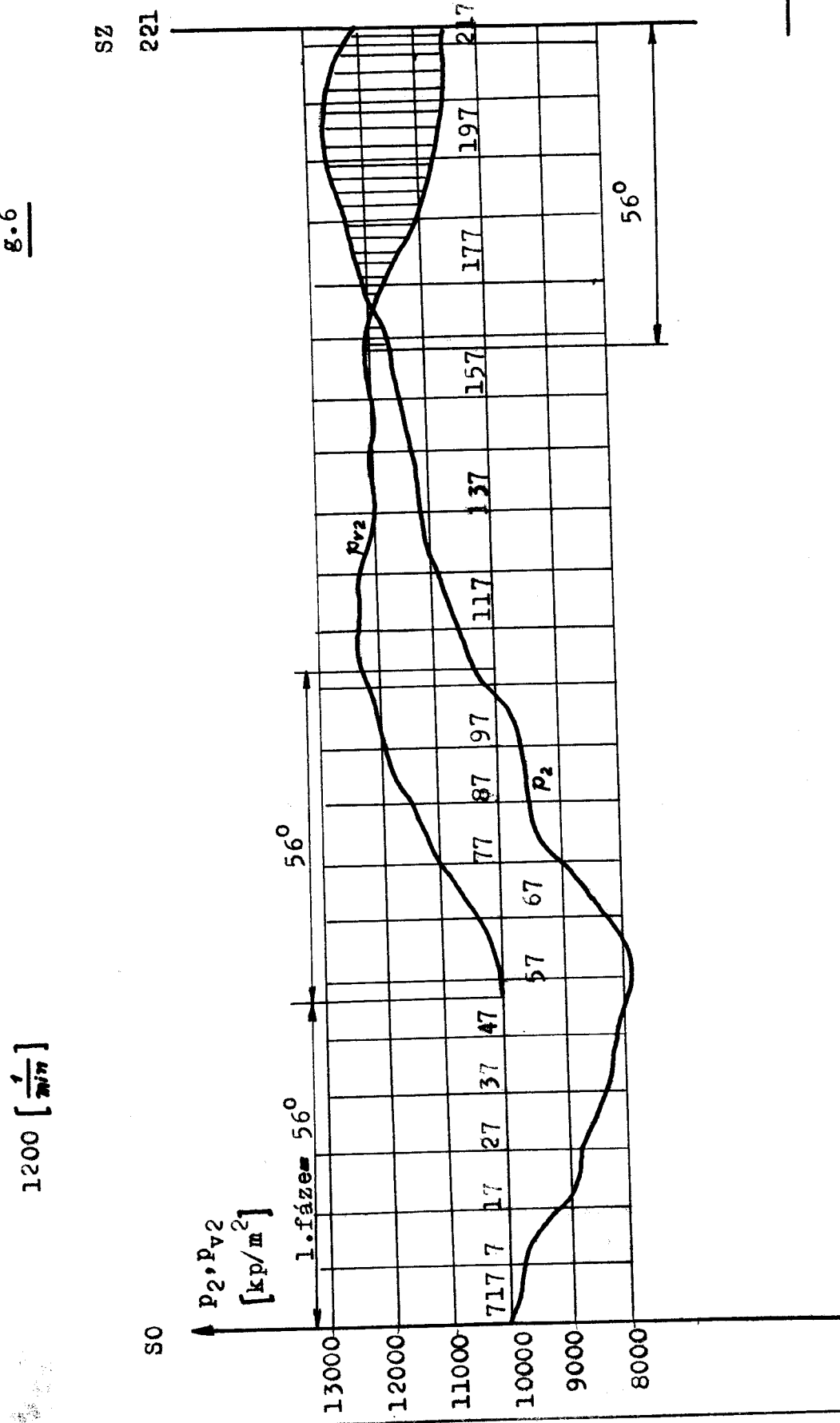
tab.7

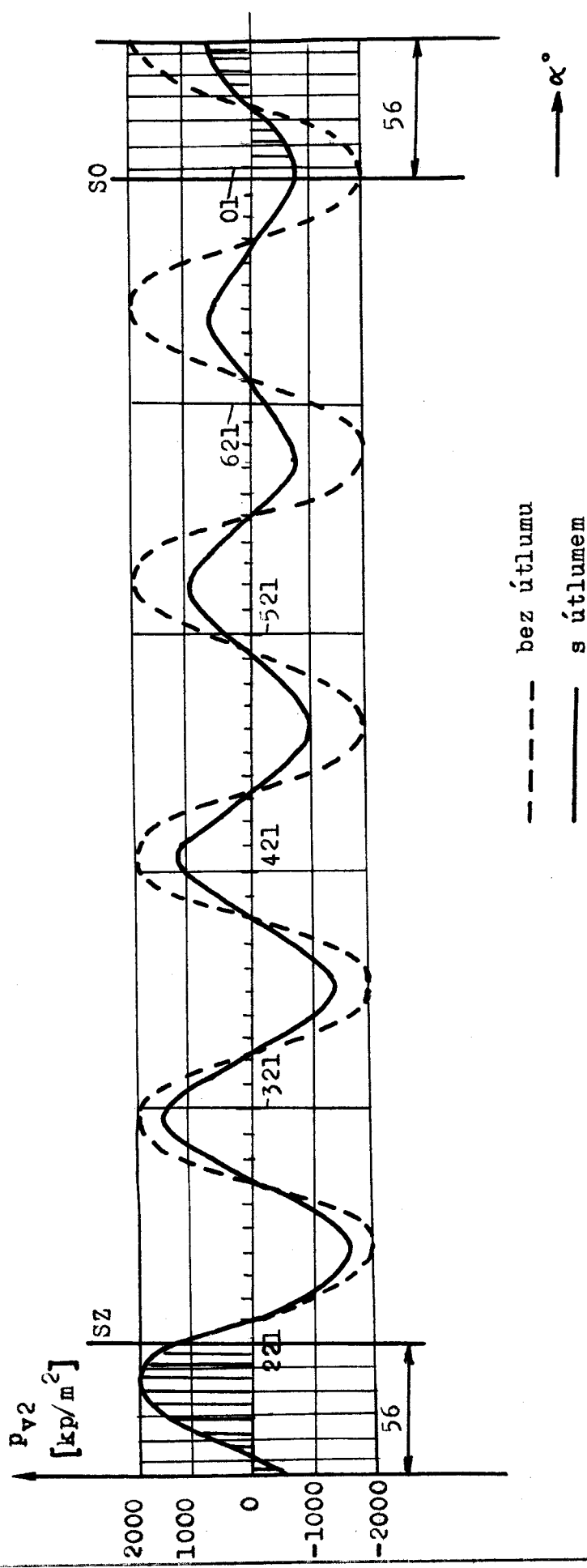
α [°]	$z \cdot 10^3$ [m]	$V_z \cdot 10^5$ [m ³]	$V_z \cdot 10^5$ [m ³]	$V_{zm} \cdot 10^5$ [m ³]	c_G [-]	$q \cdot 10^4$ [m ²]	$q_a \cdot 10^4$ [m ²]	$q_b \cdot 10^4$ [m ²]
717	0,282	0,373	0,48	14,82	0	2,46	0,41	0,82
007	0,643	0,851	4,42	17,26	0,10	5,17	1,67	2,13
017	3,980	5,270	7,71	23,33	0,21	7,88	3,03	3,49
027	9,800	12,98	11,52	32,94	0,32	9,34	4,18	4,41
037	18,50	24,50	12,50	44,95	0,38	11,06	4,95	5,25
047	27,90	37,00	14,90	58,65	0,45	12,14	5,71	5,89
057	39,20	51,90	16,30	74,25	0,49	12,30	6,02	6,12
067	51,50	68,20	16,70	90,75	0,50	13,04	6,24	6,31
077	64,10	84,90	16,60	107,4	0,52	13,04	6,42	6,46
087	76,50	101,5	16,30	123,4	0,53	13,04	6,52	6,52
097	88,70	117,8	14,70	139,9	0,53	13,04	6,52	6,52
107	100,0	132,5	13,30	153,5	0,53	13,04	6,52	6,52
117	110,0	145,8	11,70	165,8	0,53	13,04	6,52	6,52
127	119,0	157,5	9,50	176,5	0,53	13,04	6,52	6,52
137	126,0	167,0	8,00	185,2	0,52	12,30	6,38	6,27
147	132,0	175,0	5,00	191,7	0,50	12,20	6,15	6,10
157	136,0	180,0	3,50	195,9	0,49	10,80	5,95	5,14
167	138,5	183,5	2,50	198,5	0,44	9,45	5,07	4,95
177	139,9	185,0	-0,30	200,0	0,38	7,87	4,45	4,18
187	139,5	184,7	-2,70	197,5	0,32	5,90	3,94	3,25
197	137,5	182,0	-4,00	194,2	0,24	4,17	2,66	2,38
207	134,5	178,0	-7,00	188,7	0,17	1,72	1,68	1,27
217	129,0	171,0	-7,50	181,4	0,07	0	0,57	0,29
227	123,5	163,5	-11,3	172,0	0	0	0	0

1200 [1/min] , 1.krok

α [°]	p_z [kp/m ²]	A ₁	B ₁	G	W	T $\times 10^{-2}$	s	w̄ ₃ [m/s]	M̄ ₂ [kp/m ²]	P̄ ₂ [kp/m ²]	P̄ _{V2} [kp/m ²]
717	10000	7,76	9678	6,7	15,2	49	219	21	10000	9859	-
007	9841	17,40	7611	13,2	15,4	368	471	74	10000	9024	-
017	8901	18,50	7150	17,8	16,4	476	595	70	10000	8755	-
027	8445	15,60	6535	19,7	16,7	580	590	85	10000	8330	-
037	7865	12,30	6700	21,0	17,7	583	588	86	10000	8200	-
047	7166	9,90	5970	21,3	18,3	740	570	109	10200	7880	100
057	7050	9,05	6380	20,8	18,8	830	560	121	10800	8290	400
067	7475	7,15	6960	19,7	18,0	908	484	144	12000	9160	1000
077	7990	6,50	7825	27,6	17,0	845	580	120	12800	9490	1400
087	8605	6,26	8223	30,4	16,3	875	595	138	13600	9440	1800
097	9088	5,86	8945	31,4	16,0	777	580	110	13800	10350	1900
107	9590	5,63	9384	35,8	15,3	736	632	99	14200	10660	2100
117	9942	5,42	9800	39,0	14,9	685	660	90	14400	10900	2200
127	10288	5,28	10238	40,0	14,6	607	660	81	14400	11160	2200
137	10666	4,95	10617	40,3	14,1	422	632	60	13600	11180	1800
147	10897	4,80	10903	41,3	14,1	436	640	60	14000	11520	2000
157	11195	4,04	11278	36,6	13,9	323	565	53	13600	11665	1800
167	11492	3,86	11563	31,4	14,2	331	510	56	13900	12140	1950
177	11821	3,41	12021	29,0	13,3	158	432	34	13200	12214	1600
187	12137	2,86	12611	22,5	13,2	- 27	334	8"	12400	12580	1200
197	12583	2,39	12820	17,5	12,9	-161	256	53"	11600	12490	800
207	12968	1,20	13364	6,8	12,8	-225	103	106"	11600	12305	800
217	13237	0,28	13724	0	12,6	-331	4	179"	11100	11100	550

6
50



8.71200 [$\frac{1}{min}$]

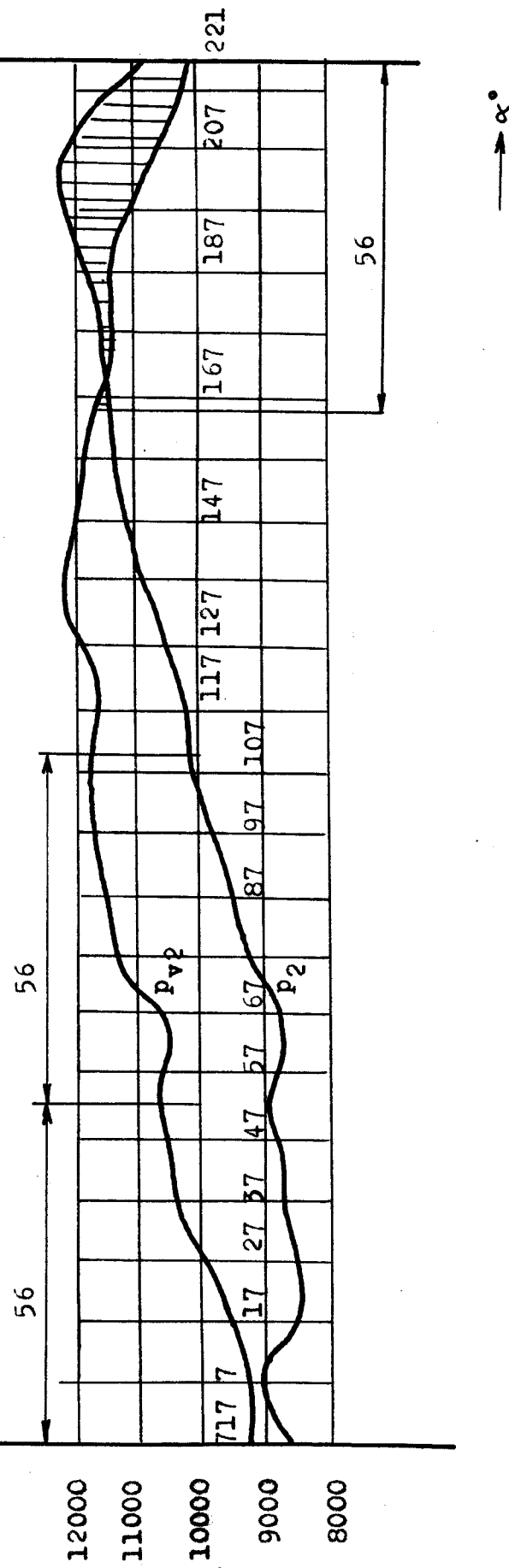
1200 [1/min], 2.krok

α [°]	p_z [kp/m ²]	A ₁	B ₁	G	W	T $\times 10^{-2}$	s	w' ₃ [m/s]	M' ₂ [kp/m ²]	P' ₂ [kp/m ²]	P' _{V2} [kp/m ²]
707									8600	8600	- 700
717	10950	8,41	10596	6,1	15,5	- 310	225	96	8600	9185	- 700
007	10860	19,10	6680	13,8	15,2	368	500	65	9100	8205	- 450
017	7920	17,25	6230	14,9	17,7	666	570	97	10000	8505	0
027	7905	14,65	6480	18,3	17,4	715	574	103	10600	8720	300
037	7985	13,00	7020	2272	17,2	720	605	101	11200	8960	600
047	8335	11,50	7355	25,9	17,4	670	650	90	11200	8870	600
057	8390	10,80	7400	26,1	16,9	608	624	86	11000	8750	500
067	8330	8,00	7485	27,2	17,0	886	598	123	12700	9360	1350
077	8465	6,90	8021	29,5	16,5	820	600	114	13000	9640	1500
087	8807	6,42	8378	31,1	15,8	792	592	111	13400	9950	1700
097	9090	5,86	8788	33,2	15,7	740	614	103	13500	10080	1750
107	9362	5,51	9119	33,6	15,5	617	606	89	13100	10110	1550
117	9609	5,23	9398	34,8	15,2	685	610	97	13900	10520	1950
127	9905	5,11	9867	36,9	14,9	660	626	91	14300	10940	2150
137	10332	4,84	10329	37,4	14,5	504	612	74	13800	11030	1900
147	10687	4,70	10760	38,2	14,4	408	602	60	13600	11310	1800
157	11042	3,99	11124	35,6	14,1	250	556	42	12900	11505	1450
167	11291	3,90	11317	28,2	13,8	177	443	36	12600	11585	1300
177	11450	3,21	11594	27,6	13,7	179	424	38	12900	11850	1450
187	11719	2,77	12003	21,4	13,4	40	324	12	12300	12048	1150
197	12036	2,29	12311	15,6	13,3	- 134	239	47	11300	12037	650
207	12203	1,13	12586	6,4	13,2	- 261	99	120	10600	11367	300
217	12450	0,26	12898	0	13,4	- 416	1	204	9800	9800	-100

tab. 9

$12000 \left[\frac{1}{\text{min}^2} \right]$

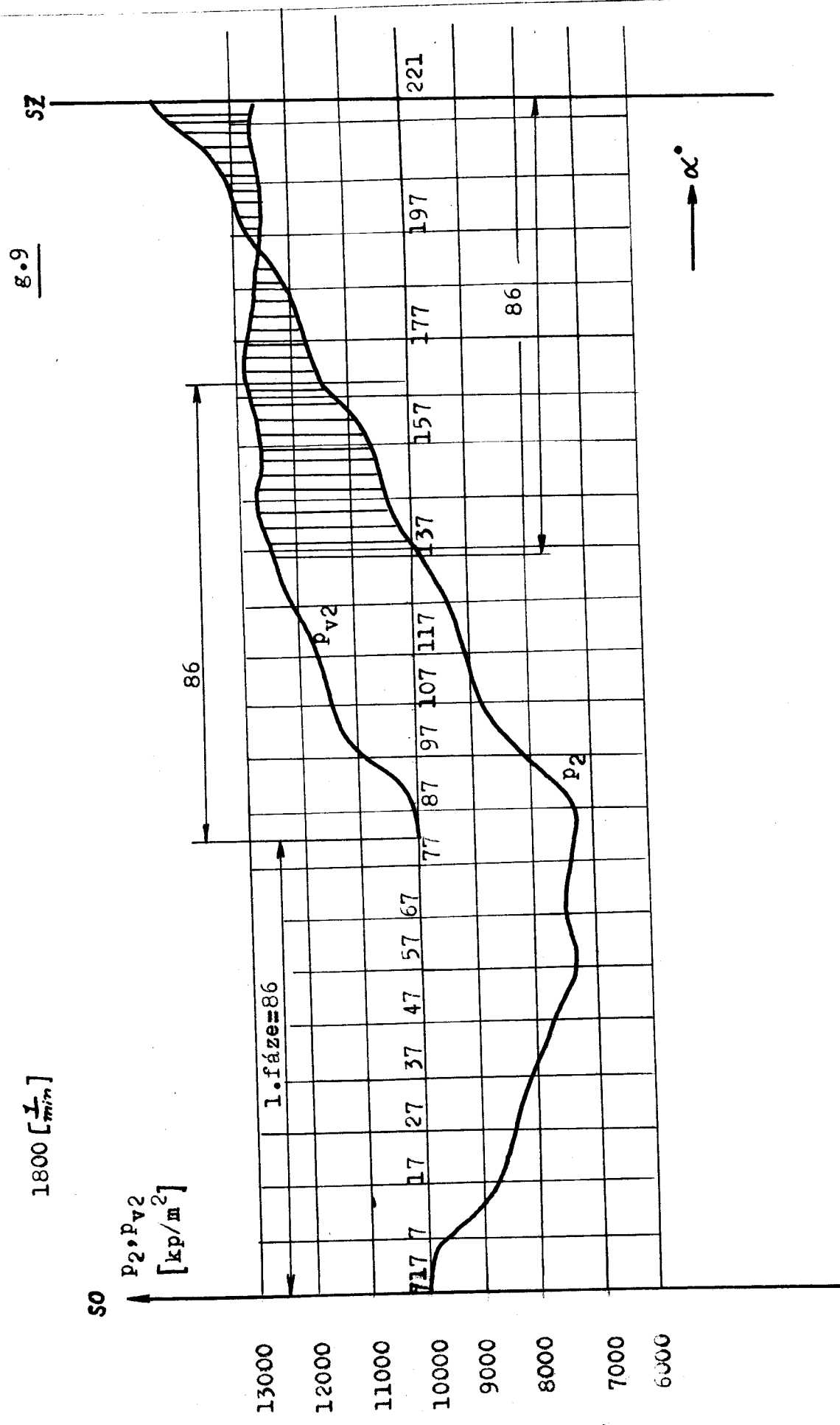
SO

 p_2, p_{v2}
 $[\text{kp/m}^2]$ 

g•8

1800 [1/min] , 1.krok

α [°]	p_z [kp/m ²]	A ₁	B ₁	G	W	T x 10 ⁻²	s	w ₃ ' [m/s]	M ₂ ' [kp/m ²]	P ₂ ' [kp/m ²]	P _{v2} ' [kp/m ²]
717	10000	5,12	9678	6,7	15,2	49	186	19	10000	9846	-
007	9783	11,50	7480	15,2	15,4	383	405	78	10000	8805	-
017	8382	12,20	7335	16,8	16,9	450	490	89	10000	8505	-
027	8425	10,40	6535	18,5	17,1	593	493	99	10000	8170	-
037	7565	8,94	6225	20,2	18,0	678	524	106	10000	7860	-
047	7171	6,60	5734	20,7	18,6	795	507	125	10000	7400	-
057	6561	5,65	5736	18,5	19,6	835	473	136	10000	7485	-
067	6502	4,17	5868	18,6	19,8	820	452	138	10000	7440	-
077	6444	3,50	5940	19,1	19,8	845	448	146	10200	7410	100
087	6450	3,14	6047	18,5	20,2	1080	435	176	11400	8140	700
097	6600	2,84	6396	21,5	19,0	1275	462	194	13100	8930	1550
107	6946	2,72	6851	24,8	18,0	1195	495	176	13500	9130	1750
117	7331	2,67	7262	29,8	17,5	1250	568	170	14400	9340	2200
127	7716	2,65	7729	27,3	17,1	1245	512	179	15000	10100	2500
137	8204	2,56	8317	28,8	16,1	1285	560	175	15500	10450	2750
147	8761	2,58	8987	31,5	15,6	1005	530	148	15400	10740	2700
157	9379	2,26	9599	27,0	15,2	926	445	154	15700	11550	2850
167	9947	2,30	10220	27,1	14,9	835	444	138	15800	11940	2900
177	10595	2,03	10895	26,0	14,1	636	394	125	15400	12150	2700
187	11150	1,75	11255	20,3	13,6	550	299	121	15300	12840	2650
197	11467	1,45	11400	15,7	13,2	503	226	133	15200	13110	2600
207	11593	0,71	11684	6,8	13,1	537	96	188	15500	14220	2750
217	11816	0,16	12342	0	12,8	472	2	216	14600	14600	2300



$\frac{g \cdot 10}{\text{---}}$ 1800 [$\frac{\text{Nm}}{\text{min}}$] $p_{v2} [\text{kPa/m}^2]$

SZ

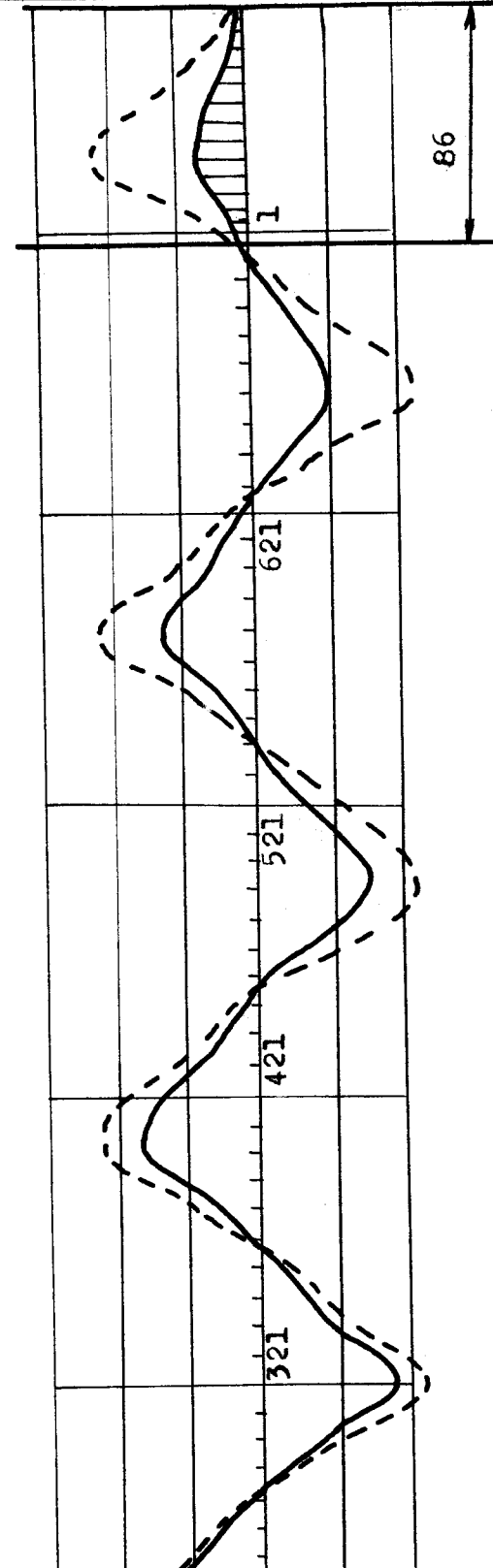
3000
2000
1000
0221
321
421
521
621
1
—-2000
-1000

86

— bez útlumu
— s útlumem

 α°

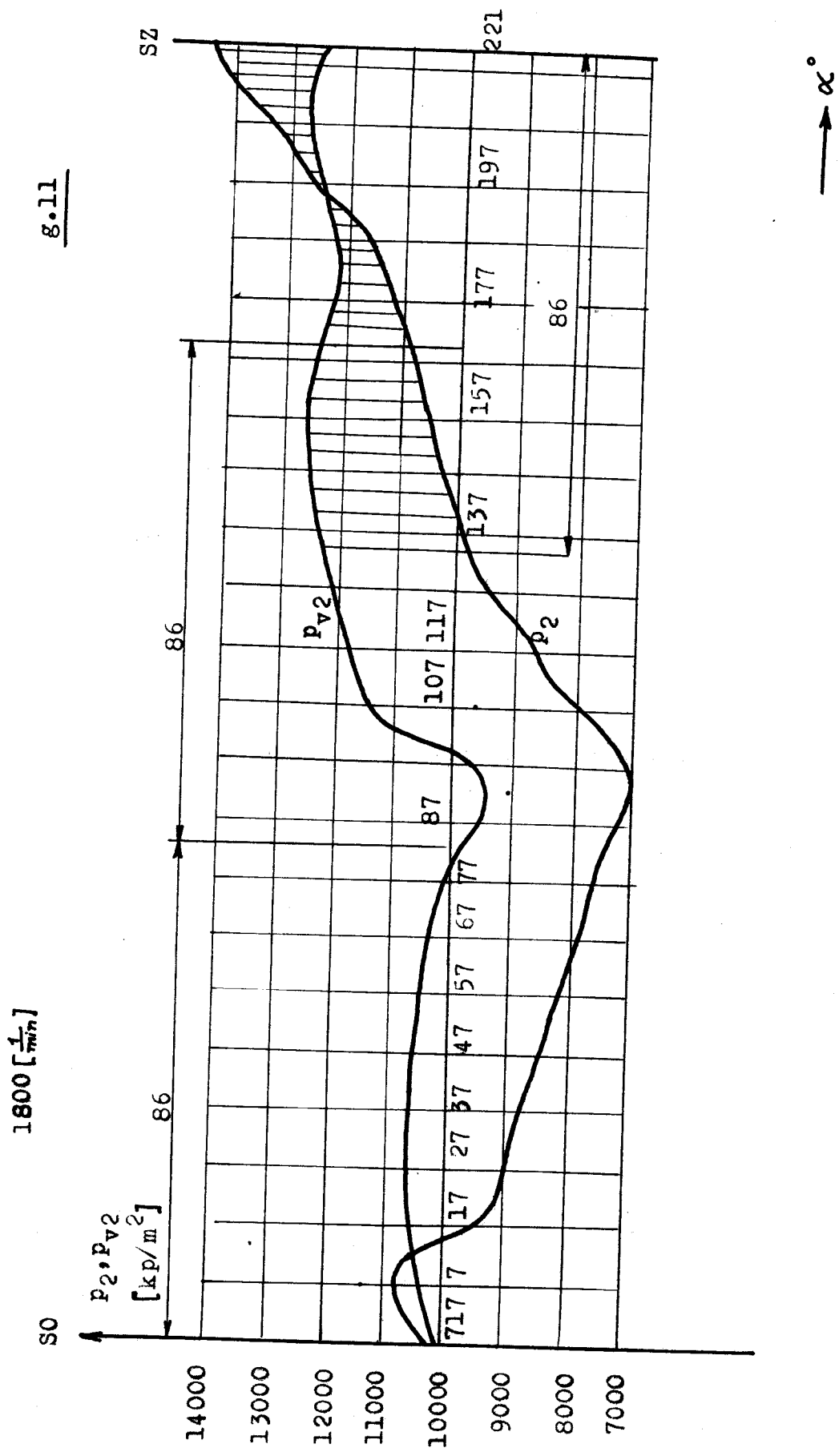
SO



86

1800 [1/min], 2.krok

α [°]	p_z [kp/m³]	A_1	B_1	G	W	T $\times 10^{-2}$	s	w_3' [m/s]	M_2' [kp/m]	p_2' [kp/m]	p_{v2}' [kp/m]
707									10200	10200	100
717	12700	6,54	12290	8,013,8	- 212	201	76*	10750	11362	375	
007	11270	11,80	7630	17,413,9	455	407	92	10900	9300	450	
017	8715	12,70	6795	18,216,3	685	504	110	11000	9000	500	
027	8190	10,10	6390	19,716,9	830	503	131	11300	8760	650	
037	7715	9,10	6530	21,917,4	815	540	123	11200	8510	600	
047	7650	7,04	6550	23,317,7	786	536	120	11000	8200	500	
057	7395	6,36	6450	22,418,1	752	521	118	10600	7960	300	
067	7200	4,60	6415	22,318,5	718	497	116	10300	7710	150	
077	6950	3,77	6319	21,119,0	510	474	90	9000	7100	- 500	
087	6658	3,25	6073	18,819,8	600	436	108	9100	7070	- 450	
097	6424	2,77	6047	18,321,5	1495	454	227	13000	9850	1500	
107	6676	2,61	6691	25,814,7	1205	504	188	13500	8650	1750	
117	7181	2,61	7196	24,118,0	1250	480	187	14100	9600	2050	
127	7684	2,63	7758	28,116,9	1155	519	169	14600	9850	2300	
137	8205	2,57	8317	28,816,1	1060	506	158	14900	10350	2450	
147	8723	2,56	8899	31,115,7	990	528	147	15200	10620	2600	
157	9277	2,23	9493	29,615,2	840	484	136	15000	10980	2500	
167	9796	2,26	9985	27,914,8	622	445	110	14200	11130	2100	
177	10235	1,97	10481	24,514,5	554	384	112	14300	11560	2150	
187	10701	1,68	11070	18,314,2	544	284	130	14900	12520	2450	
197	11288	1,43	11705	15,613,5	498	230	135	15400	13290	2700	
207	11898	0,73	12472	7,012,9	339	99	141	15100	14115	2550	
217	12578	0,17	12695	0 12,4	298	2	171	14400	14400	2200	
227								13800	13800	1900	



Pro otáčky 1800 [1/min] bude obdobně časový interval

$$\Delta t = \frac{1666}{n} = \frac{1666}{1800} = 0,924 \cdot 10^{-3} [\text{s}]$$

1. fáze potrvá tedy $2\frac{1}{4} \Delta t = \frac{2 \cdot 1,326}{3 \cdot 4,3} = 7,76 \cdot 10^{-3}$ s, což odpovídá 86° po-otočení klikové hřídele. Výpočtem podle uvedených rovnic v kap. C dostaneme obdobným způsobem jako při posledních otáčkách tabulky 10 a 11 a grafy 09, 10 a 11. Opět se vyčázelo z klidného obsahu trubky před prvním sacím zdvihem, koeficient útlumu byl vzat ve všech případech $b = 0,048$ takže hodnota amplitudy $A' = A \cdot e^{-bx}$

x ... celková dráha kmitu

Přesná hodnota b plyne z návaznosti $720^\circ = 0^\circ$.

E

E 1. Rozbor a kritika použitých metod

a/ 1. užitá metoda

Tento způsob výpočtu tak jak byl užit, se dopouští těchto nepřesností:

1. uvažuje otevření sacího orgánu od HÚ do DÚ, což neodpovídá skutečnosti, zvláště při DÚ.
2. Neuvažuje postupné otevírání a uzavírání ventilu a tím změnu průtočného průřezu.
3. Koeficient F / a z něho plynoucí $A /$ by bylo třeba přesně určit měřením.
4. Rovněž koeficient b v útlumovém členu e^{-bx} by bylo třeba přesně určit měřením.
5. Neuvažuje vliv setrvačných sil v sacím traktu.

Výhody tohoto způsobu:

1. Poměrně snadnější výpočet hodnot tlaku oproti způsobu b.
2. Umožňuje stanovit potřebnou délku sacího potrubí tak, aby bylo možno při daných otáčkách dosáhnout přeplňovacího účinku.

3. Výsledky výpočtů umožňují navrhnut konstrukční úpravy tak, že při experimentálním měření dochází jen k dočasování.

Přes uváděné nepřesnosti je tento způsob možno užít, protože umožňuje získat přehled o průběhu tlaku. Vrchol bude ovšem posunut z grafu doprava / ve skutečnosti /, t.j. směrem k většímu pootečení klikového hřídele, a to vlivem časování rozvodu. / viz bod 1/. Vliv setrvačných sil, jak bylo již dříve uvedeno, není velký, rověž ostatní nepřesnosti / na př. omezený počet členů ve Fourierově rozvoji / nejsou značné, vzhledem k tomu, že nelze postihnout přesně změny všech veličin, ovlivňujících průběh tlaku. Ve skutečnosti se mění atmosférický tlak, vlhkost vzduchu, všechny teploty, tím i rychlosť zvuku, otáčky motoru nezůstávají absolutně konstantní, a dále se ukazuje, že s růstem otáček a tím i rychlosti proudění v sacím traktu rostou vlivem větší turbulencie koeficienty tření F i útlumu b . Toto platí i pro druhou užitou metodu. / změna b /

b/ 2. užitá metoda

1. respektuje přesné časování rozvodu
2. uvažuje škrcení změnou průtočného průřezu
3. dává tedy výsledky lépe se shodující se skutečným průběhem tlaku před sacím ventilem.
4. je mnohem pracnější oproti prvé, ale vzhledem k danému algoritmu se nabízí možnost zpracování na počítačím stroji.
5. uvažované změny / adiabatická a isothermická / zřejmě neodpovídají zcela skutečnosti, koeficienty polytrop by bylo třeba stanovit měřením.
6. umožňuje směr konstrukčních zásahů jako u předchozí metody.

Tento způsob výpočtu je tedy přesnější, i když rovněž neuvažuje vliv setrvačných sil. Vzhledem k tomu, že se v našem případě jedná o vzduch o poměrně malé hmotě a o postupné uzavírání ventilů, nejsou setrvačné síly velké.

Kdyby se užilo rozvodu s téměř okamžitým působením rozvodového orgánu, což je u běžně užívaných rozvedů nedosažitelné, potom by se setrvačnými silami bylo nutno počítat. Ještě lepších výsledků by se mohlo dosáhnout opanováním výpočtu při užití středního tlaku p_{zm} /viz kap.B/, po př. provést výpočet ve více krocích, až by se kmit působící jako počáteční podmínka, pro další sací zdvih zcela ustálil. To by bylo dobré možné při užití počítacího stroje.

Dále lze předpokládat, že rovněž ve válci nastává kmitání, které může ovlivňovat sací děj, což se při výpočtu neuvažuje. Pokud se týká ovlivnění děje setrvačními silami, vidíme z intervalového výpočtu, že je skutečně zanedbatelné. Průměrná hmota plynu v sací trubce je m , zrychlení plynu během intervalu (jak je vidět z tabulek 9 a 11) se pohybuje kolem $30 \text{ [m/s}^2]$, maximálně asi $100 \text{ [m/s}^2]$ při změně smyslu proudění. I tak je ale potom složka tlaku od setrvačních sil $p = \frac{100 \text{ m}}{s} = \frac{100 \cdot 1 \cdot r}{g} = \frac{100 \cdot 4,326 \cdot 1,1}{9,81} = 16,5 \text{ [N/m}^2]$ což je zcela nepodstatné.

$$m = f \cdot l \cdot r/g$$

E.2. Porovnání naměřených a vypočtených hodnot

Naměřené hodnoty tlaku jsou vyneseny v grafech g 1 - g 5 čárkováně. Spolu s nimi jsou čerchovaně vyneseny vypočtené hodnoty tlaku získané prvním způsobem výpočtu a tabelované v tab. 1 - 5. Pro 1200 a 1800 otáček za minutu jsou plnou čarou vyneseny hodnoty tlaků získané druhou metodou výpočtu. Postup tohoto druhého výpočtu plyne z grafu G 6 - 11, hodnota tlaku po uzavření sacího ventilu je (- jak plyne z udaných rovnic v kap. $G_{p_0} + 2p_{v2}$), takže může být snadno vynesena. Z porovnání je vidět, že průběhy tlaku získané výpočtem zhodba souhlasí s naměřenými hodnotami, přičemž jak jsme předpokládali - projeví se posunutí vrcholu tlaku u průběhu získaného prvním způsobem / vliv časování - ventil zavírá až po DÚ /. Tuto nevýhodu ovšem nelze odstranit, protože Fourierův rozvoj zde lze uskutečnit jen pro interval $0 - 180^\circ$. Proto je věrnější výpočet druhým způsobem, který uvažuje skutečné časování.

Povšimněme si frekvence a amplitudy kmitů. Frekvence vlastního kmitu je $f = 1/T$, jestliže T je doba kmitu, snadno zjistitelná, protože lze vypočítat čas příslušející danému otočení klikového hřídele. Vidíme, že frekvence je asi 58 Hz a souhlasí s naměřenými hodnotami. Pokud se týká amplitudy, nejsou opět rozdíly velké a jsou způsobeny, jak již bylo uvedeno, volbou některých hodnot a počátečních podmínek pro výpočet. Také naměřené hodnoty nemohou být zcela objektivní, ať již je nepřesnost způsobena setrvačností čidla, jeho umístěním nebo vlastní setrvačnosti. Konkrétně u 1200 ot/min se zdá, že naměřené hodnoty přetlaku neodpovídají skutečnosti.

Zde se patrně nejvíce blíží skutečnosti průběh získaný 2. metodou výpočtu, protože u 1. metody bylo nutno vzít až $k = 7$ / při $k = 6$ je $B_6 = 0$ /. Se stoupajícími otáčkami stoupá absolutní hodnota amplitudy, přičemž blíží-li se frekvenční poměr číslu, dává 1. metoda výpočtu poněkud větší hodnotu amplitudy. Ve skutečnosti dochází zřejmě k většimu útlumu rezonančního stavu, jak je vidět na grafu pro 1800 / l/min /, kde dává hodnoty více se blížící naměřeným nejen co do polohy vrcholu, ale i co do velikosti amplitudy průběh tlaku, který dává 2. metoda výpočtu.

Při jiné délky trubek je zřejmé, že jde o ekvivalentní změnu frekvenčního poměru, jako když pro jednu délku měníme otáčky

Přeto není nutné uvažovat zvláště jiné délky trubek.

E. 3. Nástin aplikace Schrödingerovy rovnice

Vyjděme z vlnové rovnice

$$\frac{\partial^2 \psi}{\partial x^2} + \frac{\partial^2 \psi}{\partial y^2} + \frac{\partial^2 \psi}{\partial z^2} = \frac{1}{c^2} \frac{\partial^2 \psi}{\partial t^2} = \Delta \psi$$

což je parciální lineární diferenciální rovnice, kde
je vlnová funkce, zde veličina šířícího se rozruchu,
odchylka částice od rovnovážné polohy.
c je rychlosť vlny v daném prostředí.

Známe-li partikulární integrál ψ_1 , je řešení $C_1 \psi_1$,
kde C_1 je konstanta. Řešení je rovněž $\psi = C_1 \psi_1 + C_2 \psi_2$
/ superposice vln /.

Schrödingerova rovnice

$$-\frac{\hbar^2}{2m} \frac{\partial^2 \psi}{\partial x^2} = -\frac{\hbar^2}{8\pi^2 m} \Delta \psi + U \psi$$

kde ve směru x $\Delta \psi = \frac{\partial^2 \psi}{\partial x^2}$

\hbar – Planckova konstanta

E – kinetická energie

U – potenciální energie

m – hmota

Řešení se provádí zvlášt pro obě části t.zv. potenciální přehrad. Bereme-li rozdíl tlaků

$$p - p_0 = \Delta p = \rho c_0 c$$

lze z uvažování přechodových podmínek na rozhraní a počátečních podmínek dospět ke vztahu pro výchylku částice plynu ve směru osy potrubí, to zn. že lze vyjádřit rychlosť plynu a dále i tlak.

Výchylka

$$y = R (\cos \Omega t + \frac{1}{4} A_2 \cos 2\Omega t - \frac{1}{16} A_4 \cos 4\Omega t)$$

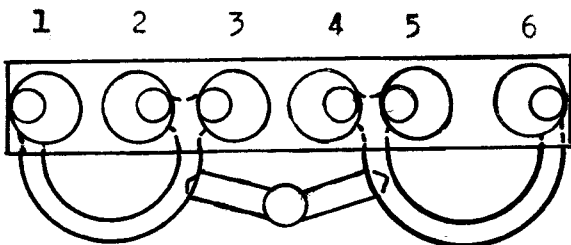
kde koeficienty A_n plynou z rozměrů daných konstrukcí motoru.

$$\Omega t = \alpha$$

Podrobně je tato metoda popsána autorem lit. 1.

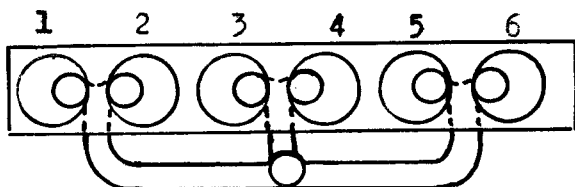
F.1 Sací potrubí

Amplitudy tlaku zvláště u vozidlových motorů mohou dosahovat velkých hodnot a způsobit citelné rozdíly v plnění jednotlivých válců. Proto se musí sací trubky účelně formovat. Při době otevření ventilu od 240° se překrývají časy otevírání po sobě zapalujících válců u šestiválcového motoru o 120° . Působnost podtlakové vlny válce, který začíná sát, je tedy zesílena, nevolíme-li sled práce válců tak, aby po sobě pracující válce byly od sebe dostatečně vzdáleny. / aby nebyly vedle sebe /. Při obvyklém uspořádání 1,5,3,6,2,4 pracují válce obou polovin motoru střídavě. U symetrických sacích trubek bude vzhledem k symetrickému průběhu práce motoru také symetrické rozdělení plnění. Je tedy plnění válců 1 - 6, 2 a 5, 3 a 4 stejné / obr. 1/ .



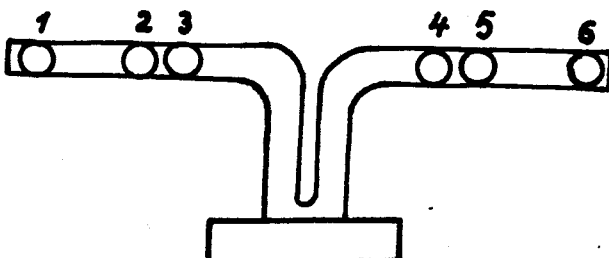
obr. 1

Při uspořádání podle obr. 2 nepřekrývají se doby otvírání ventilů sajících z jedné větve trubky, proto nenásleduje změna plnění jednotlivých válců vlivem podtlakových vln na počátku plnění sousedních válců. Pro rozdílnost délek trubek k válcům 1 a 6, 2 a 3, 4 a 5, a pro vzájemné ovlivňování větví rozvětvených trubek je plnění válců 1,2,3 respekt. 4,5,6 obecně rozdílné. Velikost těchto rozdílů se nedá předpovědět. Rozdílnost v plnění válců je u tohoto uspořádání větší.



obr. 2

Má - li každý válec vlastní sací trubku, pak lze dosáhnout rovnoměrné dodávky do všech válců. U trojice při uspořádání podle obr.3 nedochází prakticky k přímému vzájemnému ovlivnění sání válců, protože sání válců v trojici probíhá po 240° .



obr,3

Pokud by se mělo dosáhnout maximální dopravní účinnosti při rovnoměrném plnění válců, je vhodné užít samostatných trubek. Tady lze vhodnou délkou dosáhnout i přeplňovacího účinku a tím zvýšené dopravní účinnosti, případně i vyššího výkonu. To ovšem předpokládá udržení otáček v jistém rozsahu. Pokud to není zaručeno, pak naopak může dojít ke zhoršení dopravní účinnosti.

U trojice se nedosáhne zřejmě takového stupně nastavení, což ovšem znamená na druhé straně menší citlivost na kolísání otáček. Rovnoměrnost plnění ale není zaručena. Chceme-li dosáhnout maximálního zvýšení dopravní účinnosti, potom to znamená použít trubky s minimálním vnitřním průměrem, který ovšem musí ještě stačit při maximálních otáčkách naplnit válec. Vnitřní povrch by měl být pokud možno hladký pro minimální hodnotu tření, trubka pokud možno s pozvolným zakřivením a bez změny vnitřního průměru. Pokud možno rychlé uzavírání ventilu může ještě zvýšit účinek.

Pro celkové zvýšení výkonu motoru by bylo možno využít kmitů i ve výfukovém potrubí / Kadenacyho účinek /. Současným řešením těchto problémů se lze nejlépe přiblížit maximálnímu efektu prováděných úprav.

F.2 Trojice válců

Pro získání průběhu tlaku v sacím potrubí pro trojici válců byla provedena tato úvaha: známe-li průběh tlaku před sacím ventilem každého z trojice válců, pak lze po uvážení časového rozdílu v práci válců provést superpozici získaných hodnot a tak získat výsledný průběh. Přitom samozřejmě bereme ohled na odlehlosť sledovaných míst a útlum tlakového rozruchu.

Vyjděme na př. od válce 6, když $\alpha_6 = 0^\circ$. Potom je při pořadí práce válců 1 - 5 - 3 - 6 - 2 - 4 u 5. válce časová poloha kmítu ekvivalentní posunutí o $\Delta\alpha_5 = 240^\circ$, u 4. válce je $\Delta\alpha_4 = 480^\circ$ vzhledem k průběhu tlaku od minulého zdvihu příslušných válců. Spolu s posunutím vlivem toho, že se tlakový rozruch šíří rychlostí zvuku, dostáváme zvětšení $\Delta\alpha_5$ a $\Delta\alpha_4$ o další část, ekvivalentní časům $\Delta t_5 = \frac{l_5}{c}$, $\Delta t_4 = \frac{l_4}{c}$, jsou - li l_5 a l_4 vzdálenosti sacích ventilů 6.a 5., resp. 6.a 4.válce /měřeno v potrubí/.

Výpočet byl proveden pro 1800 / 1/min / a stejné počáteční podmínky jako dříve pro jednotlivé trubky. Délkové rozměry byly odměřeny z potrubí na motoru a při výpočtu zachovány, vnitřní průměr potrubí byl uvažován konstantní, a to 45 [mm] jako u samostatných trubek. Vzájemné ovlivnění trojic válců bylo zanedbáno.

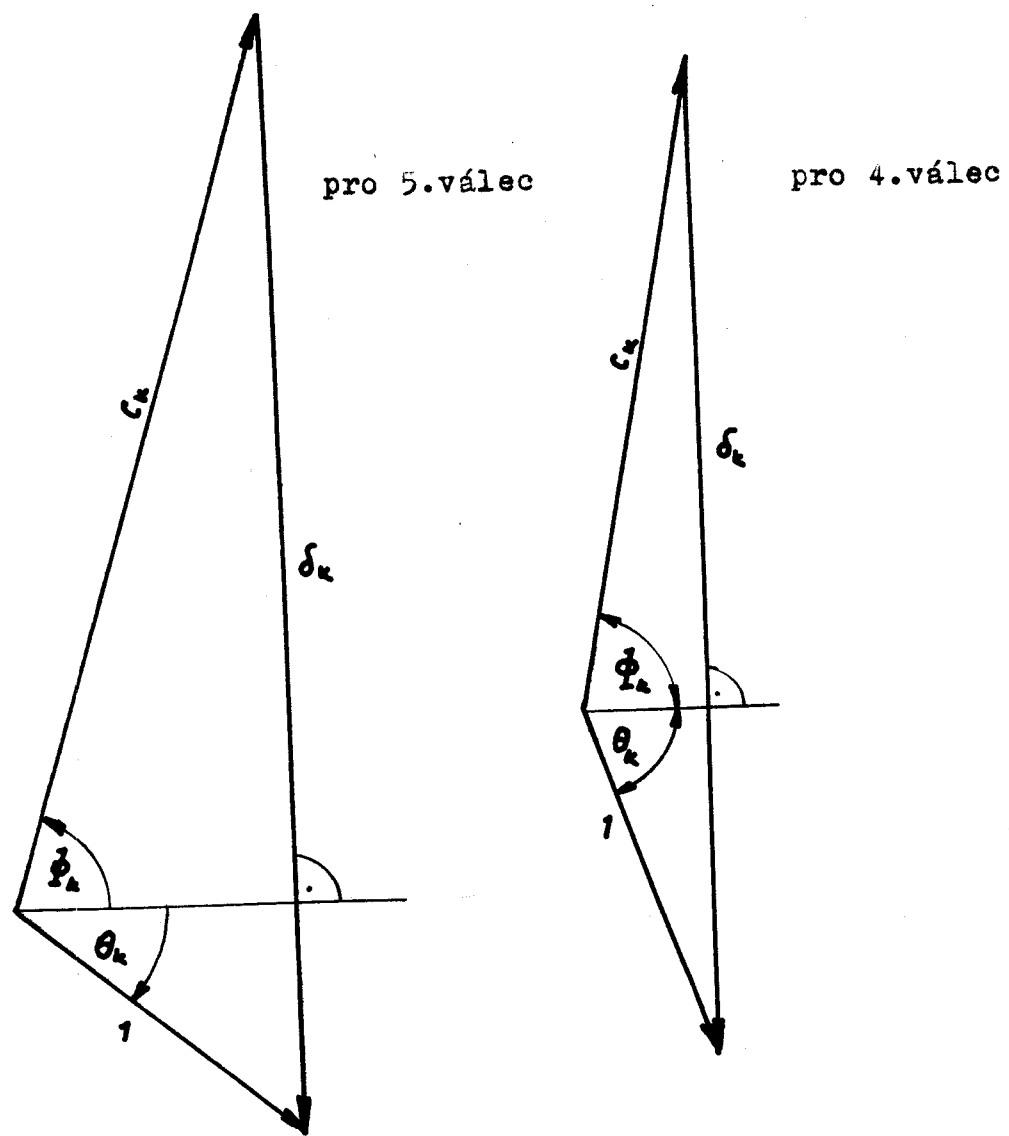
Hodnoty tlaku pro válce 6, 5 a 4 jsou uvedeny v tabulkách 12, 13 a 14, přičemž tab. 12 = tab. 4, protože celková délka příslušná válci 6 je opět 1326 [mm]. Válci 5 přísluší délka 1106 [mm] a válci 4 délka 1041 [mm]. Tlak pro jednotlivé válce je vynesen čerchovaně v grafech g 12, 13 a 14, vektorové diagramy pro válce 5 a 4 jsou na obr. 4.

Pro superponovaný průběh je celkové posunutí $\Delta\alpha_{sc} = 260^\circ$, $\Delta\alpha_{sc} = 502^\circ$

/vzdálenost 6 a 5 je 602 [mm], vzdálenost 6 a 4 je 667 [mm]/. Útlum rozruchu je pro krátkou vzdálenost $e^{-bx} = 0,99$, což je zanedbatelné, posunuté průběhy jsou vyneseny čárkovaně, superponovaný pak plně. Obdobně se postupuje i pro válce 5 a 4, vzdálenost 4 a 5 je 247 [mm], takže příslušné $\Delta\alpha$ se zvýší o 15° . Rozvětvení potrubí se na průběhu tlaku neprojeví, protože dále se šířící tlak větvemi po rozdvojení je $p' = p \frac{2f}{F+f} = p$

protože se průřez nemění / $P = f$ /.

Pro přesný tvar sacího potrubí instalovaného potrubí na motoru M 630 by se přesněji průběh tlaku vyjádřil podle druhé metody výpočtu detailně uvažující průběh všech postupných i odražených vln i s vlivem změny průměru potrubí a propojení trojic ještě před sběrnou nádobou. To ovšem vede na složitější vyjádření a výpočet.



obr.4

1800 / l/min / - válec 5

tab. 13

1800/ l/min / válec 4

tab.14

α [°]	ωt [°]	$\omega t + \theta_1$	$2\omega t + \theta_2$	$3\omega t + \theta_3$	$4\omega t + \theta_4$	$7\omega t + \theta_7$	$8\omega t + \theta_8$	$5\omega t - \phi_k$	p kp/m ²
0	-45	29	- 9	- 53	- 99	-233	-279	-306	-3060
10	-40	34	1	- 38	- 79	-198	-239	-281	-3260
20	-35	39	11	- 23	- 59	-163	-199	-256	-3200
30	-30	44	21	- 8	- 39	-128	-159	-231	-2900
40	-25	49	31	+ 7	- 19	- 93	-119	-206	-2580
50	-20	54	41	22	1	- 58	- 79	-181	-1930
60	-15	59	51	37	21	- 23	- 39	-156	-1460
70	-10	64	61	52	41	12	1	-131	-1260
80	-5	69	71	67	61	47	41	-106	-960
90	0	74	81	82	81	82	81	-81	-0815
100	5	79	91	97	101	117	121	-56	-465
110	10	84	101	112	121	152	161	-31	-255
120	15	89	111	127	141	187	201	-6	325
130	20	94	121	142	161	222	241	19	950
140	25	99	131	157	181	257	281	44	1940
150	30	104	141	172	201	292	321	69	2740
160	35	109	151	187	221	327	361	94	3450
170	40	114	161	202	241	362	401	119	3800
180	45	119	171	217	261	397	441	144	3700
190								169	1210
200		$q = 5,49$		$K = 1420$		$\phi_k = 2,76$		194	1220
210		$c_k = 1,86$		$\phi_k = 81^\circ$		$A = 0,0504$		219	955
220		$B_1 = 0,091$		$\theta_1 = 74^\circ$		$H_1 = 0,5$		244	540
230		$B_2 = 0,182$		$\theta_2 = 81^\circ$		$H_2 = 1,0$		269	0
240		$B_3 = 0,274$		$\theta_3 = 82^\circ$		$H_3 = 1,5$		294	-495
250		$B_4 = 0,366$		$\theta_4 = 81^\circ$		$H_4 = 2,0$		319	-950
260		$B_5 = 0,456$		$\theta_5 = 70^\circ$		$H_5 = 12,0$		344	-1160
270		$B_7 = 0,639$		$\theta_7 = 82^\circ$		$H_7 = 2,0$		369	-1210
280		$B_8 = 0,730$		$\theta_8 = 81^\circ$		$H_8 = 1,5$		394	-1040
290								419	-630
300								444	-125
310								469	+400
320								494	855
330								519	1150

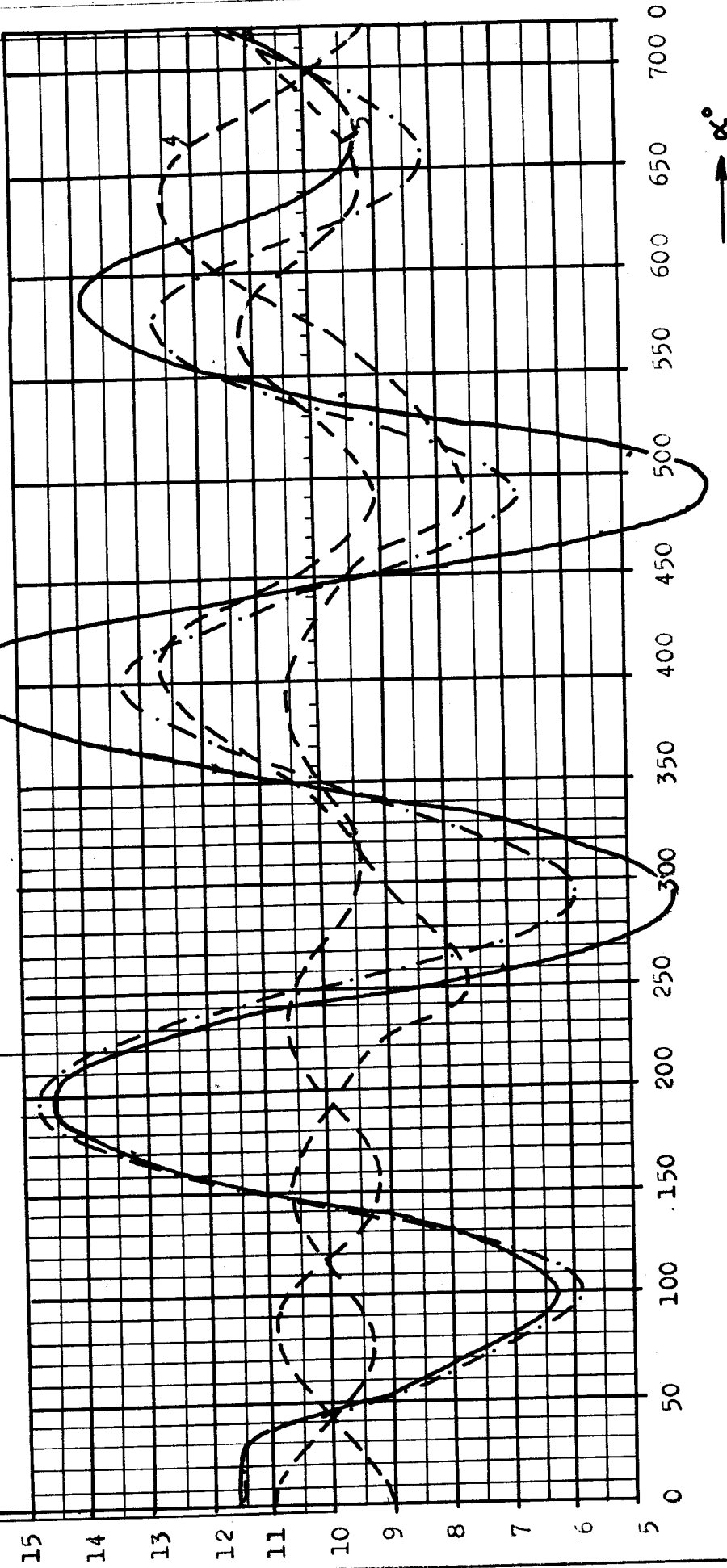
$1800 \left[\frac{1}{min} \right], 6.$ válec

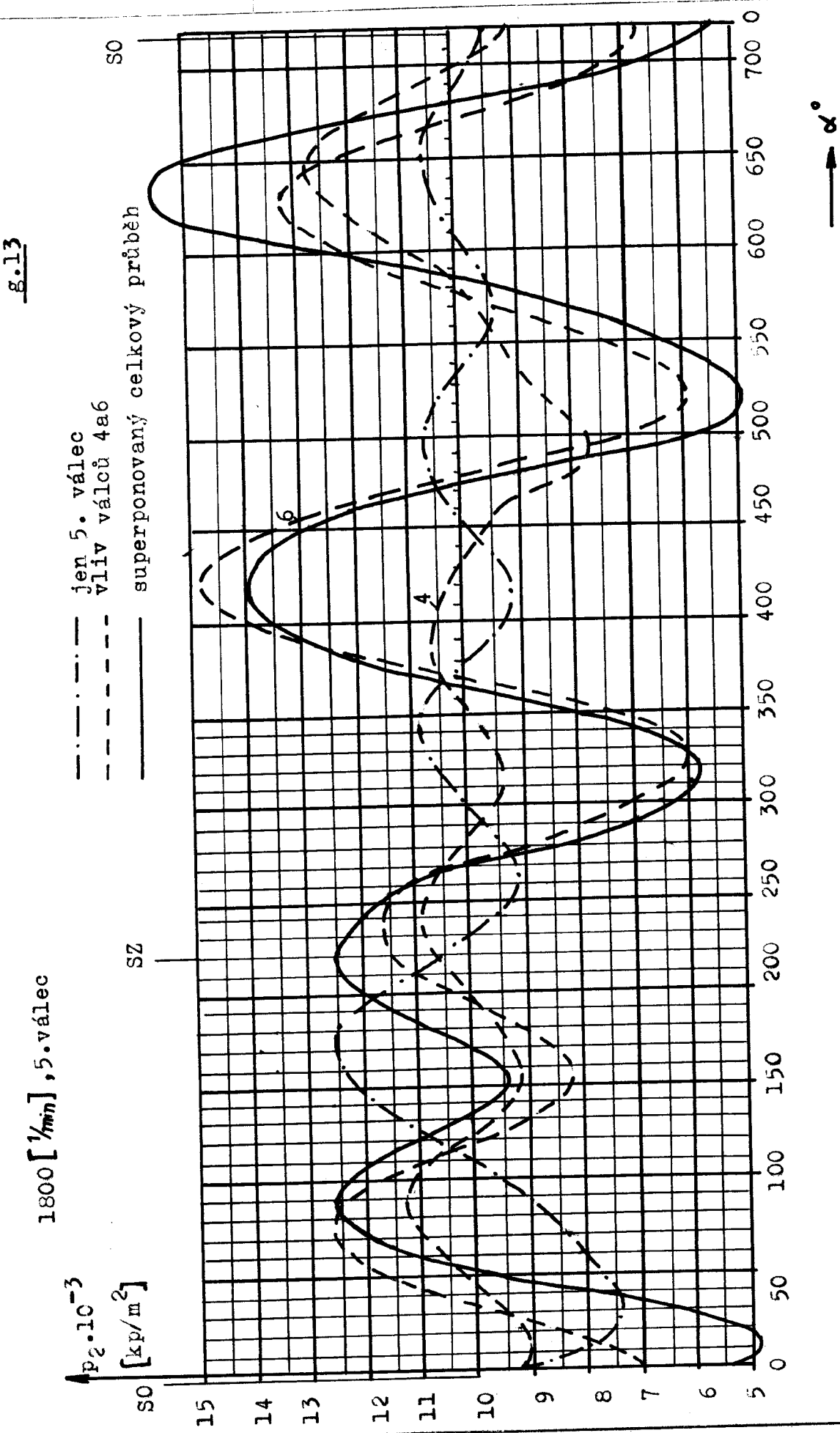
$P_2 \cdot 10^{-3}$
 $[kp/m^2]$

SO

g•12

--- jen 6.válec
 - - - - - vliv válců č.4a5
 superponovaný celkový průběh





1800 [$\frac{1}{min}$], 4.válec

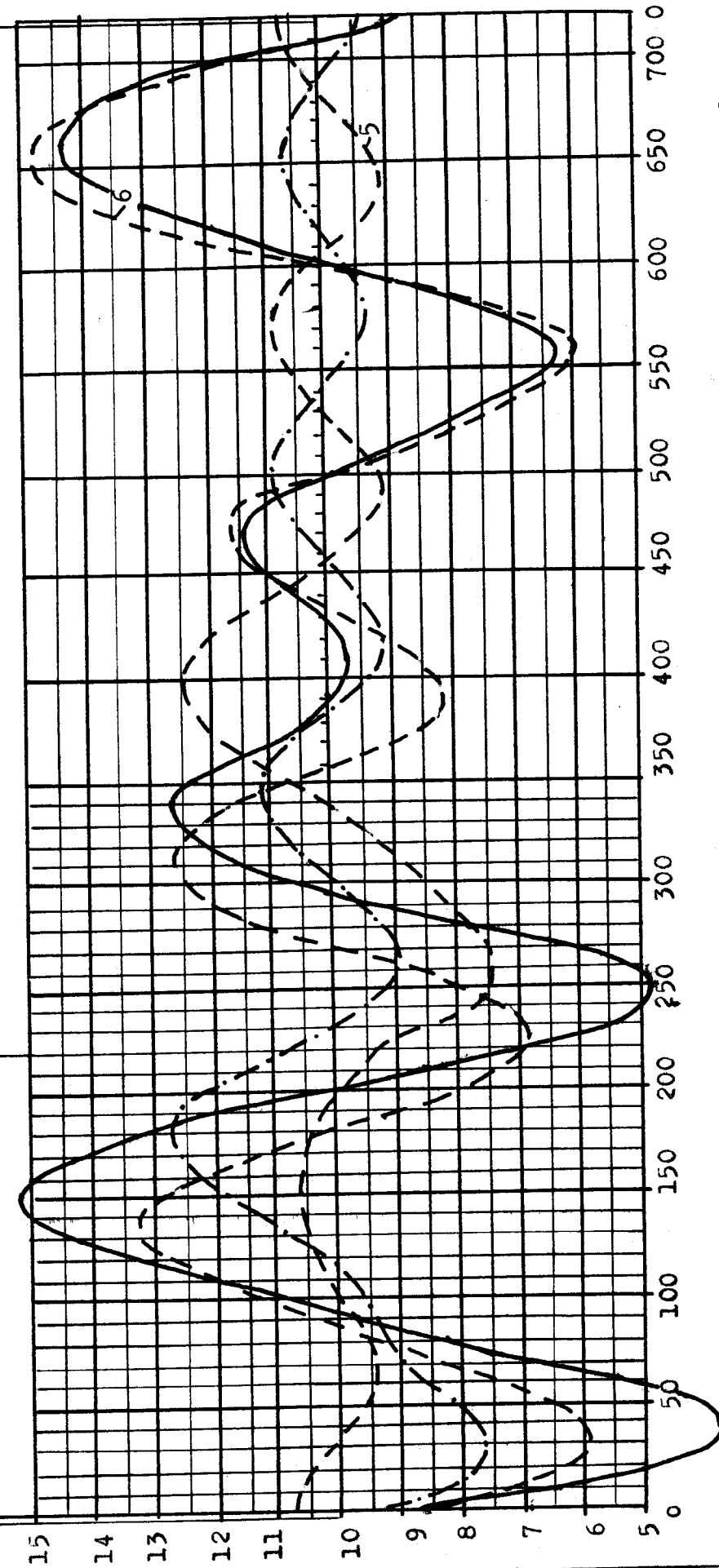
$$p_2 \cdot 10^{-3} \text{ [kp/m}^2\text{]}$$

— · · · — jen 4. válec
 - - - - - vliv válci 5a6
 - - - celkový superponovaný průběh

SO

SZ

SO



α°

F 3 Zhodnocení, využití výsledků

Při výpočtu bylo zjištěno, že pro lepší přiblížení se skutečnosti je vhodné zavést některé další úpravy do metod uvedených v cizojazyčné literatuře. Proto byl zaveden do obou metod útlum od okamžiku, kdy se zavře sací ventil. U 1. metody se kromě již uvedené změny některých hodnot vlivem chyby v desetinné čárce oproti lit. 1 uvažoval rozšířený průběh H_n , / viz obr. 2, kap. B/, a to ve větším rozsahu B_n , protože pro jednotlivé harmonické nestačí interval průběhu udaný v literatuře. Pro $B_n = 0,5$ se uvažovalo $H_n = 0$ a pro $B_n > 0,5$ průběh souměrný podle osy $B_n = 0,5$, takže bylo umožněno pojmenovat více harmonických do výpočtu. Při 2. metodě bylo pro zpřesnění výpočtu uvažováno se změnou hodnoty K / viz kap. C/ v závislosti na změně tlaku, rovněž rovnice proudění byly částečně upraveny s ohledem na skutečné poměry, a to konfrontací lit. 2,3,1 a obecných zákonů pro polytropické změny stavu vzduchu spolu s rovnicí kontinuity.

Dojde-li v průběhu tlaku p_v k přetlakové amplitudě uprostřed sacího zdvihu, nastává maximální přeplňovací efekt odpovídající vrcholu v průběhu E získaném 1. metodou výpočtu. Nastává-li maximální přetlak na počátku či konci sacího zdvihu, efekt se změní hlavně vlivem škrčení průtočného průřezu při otevírání, resp. zavírání ventilu, při počátku sacího zdvihu má vliv i překrytí rozvodu. Při dosažení kladné vlny uprostřed sacího zdvihu dosáhne se tedy zvýšení η_e . Na velikosti amplitudy pak závisí zvýšení η_d , neboť měrná hmota je funkcí tlaku. Se zvýšením amplitudy dosáhne se i většího přeplňovacího efektu, což lze využít pro zvýšení výkonu motoru.

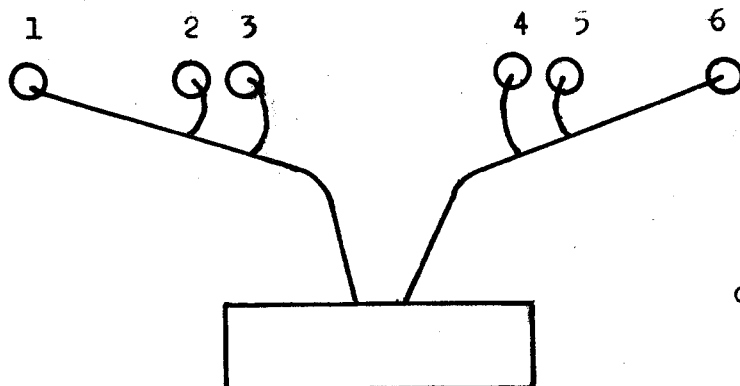
a/ Samostatné sací trubky

Z průběhu tlaku a účinnosti plyne, že lze doporučit na základě vypočteného průběhu závislosti přeplňovacího efektu na frekvenčním poměru jako použitelný $q \approx 4,2$. To tedy znamená, že je-li délka trubky 1200 [mm], celkem tedy 1326 [mm], pak je vhodný rozsah otáček 1940 - 1720 / l/min /. Optimální otáčky jsou 1850 / l/min /, avšak ani při překročení tohoto rozsahu se účinnost nezhoršuje oproti délce trubky → ~~Optimalní~~ vrcholy průběhu nejsou nejvhodnější, vrchol příslušející ke $q \approx 5,5$ pro malý efekt a předpokládaný vrchol $q \approx 3,1$ pro konstrukční neupotřebitelnost / buď nedosažitelné otáčky nebo přílišná délka trubky/. Ze vzorce pro výpočet tlaku by plynulo, že zmenšením vnitřního průměru trubky se dosáhne zvýšení tlakové amplitudy a tak zvýšení η_d . Ve skutečnosti se vlivem zvýšených hydraulických odporů při vyšší rychlosti proudění zvyšují ztráty, takže je nutné hledat optimální průměr trubky. Nejspolehlivěji se zjistí toto optimum experimentálně, neboť matematické vyjádření hydraulických odporů nedává o tomto případě vlivem užití empirických hodnot přesný obraz skutečnosti. Zcela jistě lze ale doporučit pro zmenšení hydraulických odporů povlovné změny tvaru a hladký činný povrch trubky.

b/ Potrubí pro trojici válců

Pro potrubí trojice válců platí většinou totéž jako v odstavci a/. Z průběhu tlaků získaných superpozicí skutečně plyne, že vlivem rozdílného průběhu tlaku dochází k nerovnoměrnému plnění válce 6 oproti 5 a 4 / vliv q , pro 5. a 4. je q blízké /. Pro dosažení rovnoměrného plnění válců lze doporučit stejnou délku potrubí od sběrné nádoby ke kaž-

démú válci. Dále je možno použít potrubí o ne-proměnném průřezu, protože se práce válců při daném časování nepřekrývá. Ovlivnění trojic válců není žádoucí, proto je vhodné zcela rozdělit obě větve trojic, které ústí do větší sběrné nádoby. Sběrnou nádobu je vhodné zvětšit, aby v ní nekomplisoval tlak. Možné schematické uspořádání je na obr. 5.



obr.5

Je vhodné změny tvaru potrubí provádět pozvolně, tj. s velkými poloměry křivosti.

Úvaha o optimálním průřezu a délce platí jako v odstavci a/. Ukazuje se, že lze dosáhnout lepšího průběhu přeplňovacího účinku, ovšem při určitých otáčkách / $q = \text{konst.}/$. Při nedodržení $q = \text{konst.}$ pak dochází k většímu poklesu η_d oproti samostatným trubkám. Zvyšování η_d je tedy v protikladu se snahou po jejím rovnoměrném průběhu.

Užité symboly

označení	význam	strana
A_p	činný průřez trubky	5
A_c	plocha pístu	5
A_n	motorová konstanta	54
A_v	průřez ventilu	5
A_l	uvedeno na str.	15
A	" "	7, 8
a	rychlosť zvuku	13
B_1	uvedeno na str.	15
B_n	koeficient Fourierova rozvoje	7
b	koeficient útlumu	49
c	konstanta	13
c_k	rychlosť zvuku	5
D	uvedeno na str.	11
D_k	průměr pístu	21
d	uvedeno na str.	19
d_1	vnitřní průměr trubky	21
E	průměr ventilu	24
E_1	kinetická energie	54
E_k	objemová účinnost	12
F	uvedeno na str.	12
F	vnitřní průřez trubky	17
f	koeficient tlumení	7
f	činný průřez sací trubky	14, 51
G	uvedeno na str.	15
g	zemské zrychlení	15, 22
H_n	uvedeno na str.	7, 8
h	zdvih ventilu	24
h	Planckova konstanta	54
K	konstanta tuhosti	5
K	uvedeno na str.	13
K	uvedeno na str.	22

označení	význam	strana
k	koefficient polytropy	13
k	kompresní poměr	21
L	délka ojnice	25
e	délka potrubí	5, 18
M ₂	uvedeno na str.	15
m	hmota	5, 51, 54
N	otáčky	6
n	otáčky	25
P _k	uvedeno na str.	11
p	měrný tlak	5, 13, 14, 24
p _{si}	střední indikovaný tlak	12
p _s	střední sací tlak	20
Q	nasáty objem	12
q	účinný sací průřez	14
q _a , q _b	náhradní průřezy	15
q	frekvenční poměr	7
R	odpor	5
S	uvedeno na str.	16
T	" "	16
T	absolutní teplota	21
t	čas	5, 14, 54
U	potenciální energie	54
V	objem	5, 14, 15
v	měrný objem	13
w	uvedeno na str.	15
w	rychlosť	13
x	dráha	5, 49, 54
·x	rychlosť	5
·x	zrychlení	5
y	výchylka	54
z _n	odpor	7

označení	význam	strana
z	zdvih pístu	21, 25
α	úhel otoč. klikového hřídele	9, 24, 54
β_{kr}	kritický tlakový poměr	15
γ	měrná váha	22, 51
δ_k	uvezeno na str.	11
ϵ	" "	17
ϕ_k	fázový úhel	11
G	konstanta	5
ρ	měrná hmota	5
λ	exponent náhradní funkce	15
θ_n	fázový úhel	7
η	celková účinnost přeplnění	20
η_o	účinnost objemová	20
η_d	účinnost dopravní	4
ψ	vlnová funkce	54
ω	úhlová frekvence	5
α_6	uvezeno na str.	24
'	hodnota na konci intervalu	14
*	opačný smysl rychlosti - /uvezeno v tabul./	
"	nasycený stav	24
m	střední hodnota	14
z	týká se válce	14
n	pořadí harmonické frekvence	7, 11
k	" " "	11
1,2,3	hodnota v příslušném místě	
B	normální hodnota	24
o	počáteční stav	13
o	střední hodnota	5
v	dopředná, postupná vlna	13
r	zpětná, odražená vlna	13
v	vzduch suchý	24
v	týká se ventilu	5
p	vodní pára	24
o	vzduch vlhký	24

indexy